

The Effects of Magnetic Diffusion and Cosmic-rays on Thermal Instability

Mahmoud Gholipour*, Amir Abbas Eslami Shafiq

Research Institute for Astronomy and Astrophysics of Maragha (RIAAM), University of Maragheh,
Maragheh, Iran

Received: 22.05.2022 Final revised: 17.07.2022 Accepted: 07.11.2022

Doi: [10.22055/jrmbs.2022.17925](https://doi.org/10.22055/jrmbs.2022.17925)

Abstract

In this study, we consider the effects of the cosmic rays and the magnetic diffusion on the thermal instability in the interstellar mediums. The dynamical effect as well as the heating effect of the cosmic rays are investigated on the thermal condensation in a medium where the cosmic rays diffuse along the magnetic field lines and the magnetic diffusion is present. Two separate profiles, i.e. constant field and force-free field, are considered for the magnetic field of the medium background. The linear perturbation analysis is used for the study of the thermal instability in a medium with a point of view on the previous works. The results show that the cosmic rays reduce the growth rate of the magnetothermal condensation mode, and increase the domains of stability. However, the magnetic diffusion shows two different behaviors which depend on a number of conditions affecting the magnetic diffusivity. In other words, the magnetic diffusion increases the domains of stability for cases less than a certain value of magnetic diffusivity, and decrease the domains of stability for cases larger than this certain value. Furthermore, we found that the dynamical effect of the magnetic diffusion dominates the dynamical effect of the cosmic rays. Finally, the results address some regions in which the fragmentation of the clouds into clumps and cores can be seen with the magnetothermal condensation effects.

Keywords: ISM, cosmic rays, instabilities, waves, magnetohydrodynamics

* Corresponding Author: gholipour@riaam.ac.ir

اثرات پخش مغناطیسی و پرتوهای کیهانی بر ناپایداری حرارتی

محمود قلی‌پور^{*}، امیرعباس اسلامی شفیق

مرکز تحقیقات نجوم و اختوفیزیک مراغه، دانشگاه مراغه، ایران

دریافت: ۱۴۰۱/۰۳/۰۱ ویرایش نهائی: ۱۴۰۱/۰۴/۲۶ پذیرش: ۱۴۰۱/۰۸/۱۶

Doi: [10.22055/jrmbs.2022.17925](https://doi.org/10.22055/jrmbs.2022.17925)

چکیده

در این پژوهش، اثرات پرتوهای کیهانی و پخش مغناطیسی، بر ناپایداری حرارتی در محیط میان‌ستاره‌ای، مورد بررسی قرار می‌گیرد. ما، اثرات دینامیکی و گرمایشی پرتوهای کیهانی بر چگالش حرارتی را، با فرض این که پرتوها در امتداد خطوط میدان مغناطیسی منتشر می‌شوند و پخش مغناطیسی نیز رخ می‌دهد، بررسی می‌کنیم. برای میدان مغناطیسی زمینه، دو حالت در نظر گرفته شده است: میدان ثابت و میدان بی‌نیرو. در دنباله مطالعات پیشین، ما روش تحلیل اختلال خطی را برای بررسی ناپایداری حرارتی در محیط مورد استفاده قرار داده‌ایم. نتایج به دست آمده نشان می‌دهند که پرتوهای کیهانی نرخ رشد مدهای تراکمی مغناطیسی-حرارتی را کاهش، و نواحی پایداری را افزایش می‌دهند. با این حال، پخش مغناطیسی رفتاری دوگانه بروز می‌دهد که تابعی از شرایط است. منظور از رفتار دوگانه این است که پخش مغناطیسی، نواحی پایداری را به‌ازای موارد کمتر از مقداری مشخص، افزایش، و برای موارد بزرگتر از این مقدار کاهش می‌دهد. علاوه بر این، ما دریافتیم که از بابت اثرات دینامیکی، پخش مغناطیسی بر پرتوهای کیهانی غلبه دارد. در نهایت، نتایج ما دلالت بر وجود ناحیه‌هایی دارند که در آنها تکه شدن ابرها به قله‌ها و هسته‌ها تحت اثر تراکم مغناطیسی-حرارتی اتفاق می‌افتد.

کلیدواژگان: محیط میان‌ستاره‌ای، پرتوهای کیهانی، ناپایداری، امواج، مگتوهیدرودینامیک

کردند. آنها دریافتند که زمان تباہی شار^۲ مغناطیسی، t_B ، را می‌توان به تقریب تابعی توانی از شدت متوسط میدان در ابر، B ، در نظر گرفت: $B \propto t_B^{-\gamma}$ ، که در آن $n_H \approx 2$ است. این مقدار تنها به‌ازای $\lesssim 10^7 \text{ cm}^{-3}$ دلالت بر پخش دوقطبه^۳ دارد؛ یعنی تحت شرایطی که یون‌ها و ریزترین دانه‌های غبار میان‌ستاره‌ای، به‌طور قابل توجهی در میدان مغناطیسی منجمد شده‌اند. علاوه ایشان متوجه شدند که فقط

مقدمه

اثرات میدان مغناطیسی در ابرهای مولکولی، هنوز به‌طور کامل درک نشده است. در این مورد، نظر عموماً پذیرفته شده این است که پخش مغناطیسی^۱ (MD) در ابرهای مولکولی میان‌ستاره‌ای، نقش قابل توجهی در روند تشکیل ستارگان ایفا می‌کند [۱-۱۳]. به عنوان مثال، ناکانو و همکاران [۵] رانش متنج از میدان مغناطیسی را در ابرهای مولکولی به‌طور مفصل بررسی

* نویسنده مسئول: gholipour@riaam.ac.ir

^۱ Magnetic Diffusion

^۲ Flux Loss Time

^۳ Ambipolar Diffusion



کوچک در گاز حرارتی غیرمغناطیسی را متوقف کنند. به عنوان مثال، شادمهری [۱۷] اثر دینامیکی CRs را بر ناپایداری حرارتی در چارچوب MHD آرمانی مورد مطالعه قرار داد. ایشان از یونش و گرمایش حاصله چشم پوشی و بر اثرات دینامیکی CRs تمرکز کردند. می توان به طور خلاصه گفت که آنها یک معادله مشخصه درجه ششم به دست آورده اند که نرخ رشد مد تراکمی مغناطو-حرارتی را نشان می داد. ایشان دریافتند که این نرخ رشد، در اثر CRs کاهش می یابد و بنابراین حضور CRs نقش تثبیت کننده دارد، نقشی که البته بهنوبه خود تابعی است از ضریب پخش و نیز نسبت فشار CRs به فشار گاز.

ناپایداری، چه منشاء حرارتی داشته باشد و چه گرانشی، مسئله ای است که باید در مطالعه تشکیل هر ساختاری در ISM و از جمله تشکیل ستارگان مورد توجه ویژه قرار بگیرد. از نظر تاریخی، یکی از مهم ترین مطالعات در مورد ناپایداری حرارتی توسط فیلد [۲۳] انجام شده است. او به این نتیجه رسید که تحت طیف گستره ای از شرایط، تعادل حرارتی پایدار نیست و بهم خوردن تعادل می تواند منجر به تراکم و پدیدار شدن چگالی بالاتر و دمای پایین تر گردد. کاری که فیلد انجام داد، در شاخه های مختلف اختوفیزیک مورد استفاده قرار گرفته و توسعه داده شده است [۲۴-۳۱]. به عنوان مثال، برخی از محققان اثر پخش دوقطبی (AD) را بر ناپایداری حرارتی مطالعه کرده اند [۳۲-۳۵]. آنها دریافتند که پخش دوقطبی نواحی پایداری را کاهش می دهد. البته در این مطالعات، اثرات MD بر نرخ رشد، به طور کامل مورد بررسی قرار نگرفته و اثر MD نیز صرفاً به حضور یک میدان مغناطیسی ثابت محدود شده است. باید توجه داشت که لحاظ کردن میدان مغناطیسی

به ازای $n_H \gtrsim 10^{12} \text{ cm}^{-3}$ است که اتلاف اهمی^۱ غلبه دارد.

به عنوان یک نمونه دیگر، شو و همکاران [۶] سعی کردند که مسئله موسوم به «فاجعه ترمز مغناطیسی»^۲ را در ابرهای مولکولی حل کنند. آنها معادلات حاکم بر فرو ریزش گرانشی یک ابر مولکولی^۳ را با فرض وقوع پخش اهمی صورت بندی نمودند. آنها نشان دادند که شدت میدان مغناطیسی در نزدیکی جسم ستاره ای مرکزی، می تواند به مقداری سازگار با شواهد دیرینه مغناطیسی^۴ به دست آمده از شهاب سنگ ها کاهش یابد؛ البته به این شرطی که $\eta_0 \approx 2 \times 10^{20} \text{ cm}^2 \text{s}^{-1}$. این مقدار برای ضریب پخش اهمی، η_0 ، چند مرتبه بزرگی بیشتر از چیزی است که با استفاده از نظریه جنبشی تخمین زده می شود. در همین راستا، کراسنوپولسکی و همکاران [۷] دریافتند که با استفاده از فرضیات مختلف، می توان مقدایر کوچکتری برای η_0 به دست آورد. البته، برخی مطالعات نیز با استفاده از شبکه های شیمیایی با پیچیدگی های مختلف، نشان داده اند که در مرکز هسته هیدرواستاتیکی اولیه (در فاز هسته ابتدایی) مقدار مورد نظر برای η_0 تأمین می شود [۱۰، ۱۴].

یکی دیگر از پدیده های عمده که در محیط میان ستاره ای^۵ (ISM) نقش بسیار مهمی ایفا می کنند، پرتوهای کیهانی^۶ (CRs) [۱۵-۱۹] می باشند. اثرات CRs دینامیکی، یونشی و گرمایشی، سه نقش مهم هستند که در آثار مختلف مورد توجه قرار گرفته اند [۲۰، ۲۱]. همچنین برخی افراد با استفاده از نظریه تحلیل اختلال خطی^۷ به بررسی تأثیر CRs بر محیط گازی از دیدگاه حرارتی پرداخته اند [۱۷، ۲۲]. آنها به این نتیجه رسیدند که رشد اختلالات دامنه CRs تمایل دارند که رشد اختلالات دامنه

^۱ Interstellar Medium

^۲ Cosmic Rays

^۳ Linear Perturbation Analysis

^۴ Ohmic Dissipation

^۵ Magnetic Braking Catastrophe

^۶ Molecular Cloud

^۷ Paleomagnetism

بسیار طولانی می‌کند و ثانیاً و مهم‌تر این که با اضافه شدن جمله اهمی، دامنه اعتبار معادلات ما به محیط‌های متمایز میان‌ستاره‌ای تعمیم می‌یابد و به‌این ترتیب می‌توانیم طیف وسیعی از ابرها را (ابرها پخشیده یا ابرها خشی و سرد) نیز مورد مطالعه قرار دهیم. در ادامه، در بخش بعدی صورت‌بندی کلی مسئله را انجام می‌دهیم. سپس به تحلیل اختلال خطی می‌پردازیم.

صورت‌بندی کلی

در این پژوهش، ما محیطی مغناطیسی را در نظر می‌گیریم که در حضور CRs در معرض بروز MD است. ما اساساً کار [۱۷] را دنبال می‌کنیم که رویکرد سیال‌سیال به‌این مسئله دارد؛ یعنی محیط گازی یونیده جزئی^۱ و CRs، هر دو به عنوان سیال در نظر گرفته شده‌اند که در حال برهم‌کنش متقابل می‌باشند. همچنین، مطابق با [۱۷] فرض کرده‌ایم که انتشار CRs تنها در امتداد خطوط میدان مغناطیسی است.

فرض فوق ممکن است نیاز به توضیح داشته باشد. در یک ابر مولکولی، در مقیاس طول ابر، میدان مغناطیسی ساختار نسبتاً منظمی را نشان می‌دهد. واضح است که در درون این ساختار CRs به دور خطوط میدان مغناطیسی می‌چرخدن. اندازه شعاع لارموری برای ذرات در ابر مولکولی چندین مرتبه کوچک‌تر از ابعاد ابر است [۵۳]. بهاین ترتیب CRs در حین انتشار، میدان مغناطیسی یکنواختی را در درون ابر تجربه می‌کنند و عملاً در امتداد آنها هدایت می‌شوند و کم و بیش روی یک مسیر مارپیچ در اطراف خطوط میدان می‌گردند. این منجر به انتشار شدیداً ناهمسانگرد CRs در امتداد خطوط میدان می‌شود. بنابراین، به‌سبب ناچیز بودن شعاع لارموری نسبت به ابعاد ابر، می‌توان مسئله شارش CRs را تک بعدی در نظر گرفت [۵۴, ۵۵].

غیریکنواخت، می‌تواند منجر به نتایج بسیار متفاوتی گردد.

هدف ما نیز در همین راستا است؛ یعنی بررسی ناپایداری حرارتی تحت اثرات CRs و MD بر یک گاز حرارتی. ما در ادامه بررسی‌های اخیر خود [۵۰] علاقمندیم که اثر پخش اهمی را نیز در مطالعه ناپایداری حرارتی مد نظر قرار دهیم. پژوهش فعلی در واقع در امتداد پژوهش پیشین ما [۵۰] قرار دارد و به توسعه نتایج به‌دست آمده در آن تحقیق می‌پردازد. که می‌دانیم در ابرها مولکولی سرد و تاریک، به‌ویژه در چگالی‌های کم، در میان فرایندهای پخشی، اثر پخش دوقطبی غالب است. سؤال اصلی این است که با افزایش چگالی و دما و یونیدگی محیط، آیا معادلات و نتایج تحقیق سابق ما معتبر خواهد ماند؟ به عبارت دیگر، باید بررسی کرد که نتایج [۵۰] به‌کدام محیط‌ها قابل تعمیم خواهند بود.

واضح است جواب سؤال فوق منفی است. در نواحی چگال، بسته به مقدار چگالی و دما و همچنین محافظت‌شدگی در برابر پرتوهای کیهانی، پخش اهمی اهمیت می‌یابد. در برخی نواحی نیز این امکان هست که پخش دوقطبی و اثر اهمی به موازات هم ایفای نقش کنند و سهمی تقریباً برابر یا هم‌مرتبه داشته باشند. متقابلاً، می‌توان پرسید که اگر بخواهیم ساختار ابرهای پخشیده را مطالعه کنیم باید چه تغییراتی نسبت به [۵۰] در نظر گرفته شود. در این محیط‌ها دما حداقل یک مرتبه بیشتر از دمای ابرهای مولکولی است. لذا اثر اهمی در اینجا نیز باید به مسئله وارد شود و در معادله القا در رژیم غیرایده‌آل لحظه گردد.

اگرچه شاید در ظاهر امر به‌نظر برسد که اضافه کردن جمله اهمی تنها یک تغییر کوچک در ریاضیات و معادلات مسئله است، اما در واقع افزودن این جمله اولاً مسئله را نسبت به [۵۰] به‌شدت پیچیده و محاسبات را

^۱ Weakly Ionized Gas

$$-\nabla \cdot (K_{\parallel} \nabla_{\parallel} T + K_{\perp} \nabla_{\perp} T) = 0 \quad 5$$

$$\frac{1}{\gamma_{cr} - 1} \frac{dP_{cr}}{dt} - \frac{\gamma_{cr}}{\gamma_{cr} - 1} \frac{P_{cr} d\rho}{\rho dt} + \nabla \cdot \mathbf{F} = 0 \quad 6$$

دماهی گاز است؛ γ و γ_{cr} به ترتیب شاخص بی دررو برای گاز و CRs هستند. Ω عبارت است از انرژی از دست رفته منهای انرژی به دست آمده در واحد جرم. K_{\parallel} و K_{\perp} نیز ضریب هدایت حرارتی را در جهات موازی و عمود بر میدان مغناطیسی نشان می‌دهند. \mathbf{F} شار پخشی انرژی CRs است:

$$\mathbf{F} = -\kappa_{\parallel} \mathbf{b} (\mathbf{b} \cdot \nabla P_{cr}) \quad 7$$

در این رابطه، $\mathbf{b} = \frac{\mathbf{B}}{B}$ ، بردار واحد در امتداد خطوط میدان مغناطیسی و K_{\parallel} نیز مؤلفه ضریب پخش در همین راستا است. نهایتاً، معادله حالت گاز عبارت است از:

$$P = \frac{R_g}{\mu_B} \rho T \quad 8$$

که در آن R_g ثابت گاز و μ_B وزن مولکولی است. اکنون می‌توانیم به جزئیات برخی از این کمیت‌ها پردازیم.

پخش مغناطیسی

برای شروع، مناسب است که به پخش اهمی توجه کنیم:

$$\eta_0 = \frac{c}{4\pi\sigma_e} \quad 9$$

که در آن سرعت نور و σ_e هدایت الکتریکی است. همچنین پخش اهمی را می‌توان با عدد رینولدز مغناطیسی^۱ بیان کرد:

$$\eta_0 = \frac{Lv_L}{Rem} \quad 10$$

که در آن L طول مشخصه و v_L سرعت مشخصه محلی است. بدیهی است که اگر $1 \gg Rem$ اثر پخشی اهمی ناچیز خواهد بود. طول مشخصه محلی را می‌توان با طول جینز^۲ در ابر مولکولی قیاس کرد [۳۷, ۳۸]:

البته پرتوهایی که در میدان مغناطیسی در هم تبیه محیط میان‌ستاره‌ای منتشر می‌شوند، همه‌جا شرایط یکسانی را تجربه نمی‌کنند. در حالت کلی، انتشار آنها را می‌توان به عنوان یک سری پراکندگی‌های تصادفی متوالی توصیف کرد. بسیاری از مدل‌های رایج برای انتشار CRs در ابرهای مولکولی [۵۶, ۵۷] فرض می‌کنند که پرتوهای کم انرژی در امتداد خطوط میدان مغناطیسی جریان دارند. بالاتر از انرژی حدود [۵۷] $100 MeV$ نشان داده‌اند که انتقالی تدریجی به انتشار پخشی رخ می‌دهد. با مشخص شدن رویکرد ما به انتشار پرتوها، حال به معادلات اساسی می‌پردازیم. معادله پیوستگی به این صورت نوشته می‌شود:

$$\frac{\partial \rho}{\partial t} + \nabla \cdot (\rho \mathbf{V}) = 0 \quad 1$$

که در آن ρ چگالی گاز و \mathbf{V} بردار سرعت است. معادله حرکت در حضور CRs از این قرار است:

$$\rho \frac{\partial \mathbf{V}}{\partial t} + \rho (\mathbf{V} \cdot \nabla) \mathbf{V} \quad 2$$

$= -\nabla(P + P_{cr}) + \frac{1}{4\pi} (\nabla \times \mathbf{B}) \times \mathbf{B}$
که در آن P و P_{cr} به ترتیب، فشار گاز و فشار CRs هستند. \mathbf{B} بردار میدان مغناطیسی است که قانون گاؤس در مورد آن به شکل زیر نوشته می‌شود:

$$\nabla \cdot \mathbf{B} = 0 \quad 3$$

معادله القاء شامل پخش اهمی و دوقطبی را می‌توان به صورت زیر نوشت:

$$\frac{\partial \mathbf{B}}{\partial t} = \nabla \times (V \times \mathbf{B}) - \nabla \times (\eta_0 (\nabla \times \mathbf{B})) + \nabla \times ([\eta_A (\nabla \times \mathbf{B}) \times \mathbf{B}]) \quad 4$$

که در آن η_0 و η_A به ترتیب ضرایب پخش اهمی و پخش دوقطبی می‌باشند. معادلات انرژی برای سیال گازی و سیال CRs عبارتند از:

$$\frac{1}{\gamma - 1} \frac{dP}{dt} - \frac{\gamma}{\gamma - 1} \frac{P d\rho}{\rho dt} + \rho \Omega$$

^۱ Jeans Length

^۲ Magnetic Reynolds Number

مقادیری از چگالی و چه فازی از ISM صحبت می‌کنیم؛ گاز اتمی خشی یا مقابله ابر مولکولی تاریک. در مورد گرمایش اهمی می‌توان نوشت:

$$\Gamma_{Ohm} = \frac{\eta_0}{4\pi} |\nabla \times \mathbf{B}_0|^2 \quad ۱۴$$

واضح است که اگر پیکربندی میدان مغناطیسی ثابت باشد، گرمایش اهمی رخ نمی‌دهد ($\Gamma_{Ohm} = 0$). در ISM میدان بی‌نیرو^۱، جلب توجه می‌کند؛ شرایطی که در آن، ساختار میدان با $\nabla \times \mathbf{B}_0 = \alpha_f \mathbf{B}_0$ توصیف می‌شود در آن α_f یک ضریب ثابت است. این ساختار مغناطیسی فاقد نقش دینامیکی است و تنها اثرات حرارتی در ابر مولکولی پدید می‌آورد.

$$\Gamma_{Ohm} \approx \frac{\eta_0}{4\pi} \alpha_f^2 B_0^2 \quad ۱۵$$

در کنار این مباحث نظری، ما شواهدی رصدی نیز در اختیار داریم که بر مبنای آنها می‌توان رابطه‌ای تجربی بین مقادیر میدان مغناطیسی و چگالی برقرار کرد: $B_0 \approx c_0 \rho^s$. اینجا c_0 ضریب ثابت است و نیز می‌توان به تقریب در نظر گرفت که: $s = 0.5$ [۴۱]. با تلفیق این نکات و وابستگی ضریب پخش اهمی به دما و چگالی بر اساس رابطه ۱۲ می‌توانیم Γ_{Ohm} را به این صورت بازنویسی کنیم:

$$\Gamma_{Ohm} \approx \alpha_f^2 \left(\frac{c_0^2}{4\pi} \sqrt{\frac{\alpha_s \gamma^2}{G}} \frac{R_g}{\mu_B} \frac{\mathcal{M}}{R_{em}} \right) \rho^{\frac{1}{2}} T. \quad ۱۶$$

بنابراین، منطقی به نظر می‌رسد که گرمایش اهمی به این شکل بیان کنیم:

$$\Gamma_{Ohm} = \Gamma_0 \rho^m T^y$$

که در آن $m = 2s + x + y$ مقداری ثابت است و داریم:

$$\Gamma_0 = \alpha_f^2 \epsilon_0 \frac{\mathcal{M}}{R_{em}} \quad ۱۷$$

که در آن:

$$\epsilon_0 = \frac{c_0^2}{4\pi} \sqrt{\frac{\alpha_s \gamma^2}{G}} \left(\frac{R_g}{\mu_B} \right)^y \quad ۱۸$$

$$\lambda_j = \sqrt{\frac{\alpha_s c_s^2}{G \rho}} \quad ۱۱$$

که در آن، G ثابت گرانش، α_s ضریب مربوط به شکل ابر و $c_s = \sqrt{\gamma P}/\rho$ سرعت صوت است. مقیاس سرعت مشخصه محلی را نیز می‌توان $v_L \approx \mathcal{M} c_s$ در نظر گرفت که \mathcal{M} عدد تلاطمی ماخ است. به این ترتیب می‌توان نوشت:

$$\eta_0 \cong \left(\frac{\gamma R_g}{\mu_B} \sqrt{\frac{\alpha_s}{G}} \right) \frac{\mathcal{M}}{R_{em}} T \cong \sqrt{\frac{\alpha_s}{G}} \frac{\mathcal{M}}{R_{em}} \frac{P}{\rho}. \quad ۱۲$$

بر این اساس، ما می‌توانیم صورت‌بندی عمومی زیر از پخش اهمی را بپذیریم:

$$\eta_0 \equiv \sqrt{\frac{\alpha_s \gamma^2}{G}} \frac{\mathcal{M}}{R_{em}} \rho^x P^y \quad ۱۳$$

مقدار دو ضریب x و y ثابت است. هدف ما حل کلی مسئله است، با این حال، هر جا نیاز باشد، فرض ما این خواهد بود که: $x = -\frac{3}{2}$ و $y = 1$.

اثرات غیرآرامانی، از جمله پخش اهمی و دوقطبی، بستگی به این دارد که چه کسری از محیط یونیده است. درجه یونیدگی نیز به چگالی و نیز میزان محافظت‌شدگی محیط در برابر تابش فرابنفش بستگی دارد [۱۳، ۳۹، ۴۰]. در ابرهای مولکولی خوب محافظت شده که CRs تنها مشاه یونیدگی است، فرایند بازترکیب وقتی که کسری در حدود $n^{-\frac{1}{2}}$ از محیط یونیده شده است، با فرایند یونش به تعادل می‌رسد. طبیعتاً، در آن نواحی که تابش فرابنفش نفوذ می‌کند، مانند محیط اتمی خشی، کسر یونش بسیار بیشتر، و در نواحی متراکم، $n \approx 10^{10} \text{ cm}^{-3}$ بسیار کمتر است؛ زیرا بارهای آزاد تمایل دارند که به دانه‌های غبارگیر کنند. در هر رخدادی، مهم است که قبل از مقایسه اعداد رینولدز مغناطیسی مشخص شود که در مورد چه

استاندارد $\zeta_{H_2} = 10^{-17} s^{-1}$ ، موسوم به «مقدار اسپیترز»^۲ [۱۸, ۴۵]. با این حال، در ابرهای پخشیده،^۳ نرخ یونش CRs با این مقدار ثابت متفاوت است. به عنوان مثال، داده‌های رصدی نشان می‌دهد که نرخ یونش در نواحی پخشیده در ISM حدود یک مرتبه بزرگی بیشتر از مقدار اسپیترز می‌باشد [۴۶]. ثابت شده است که CRs در ISM در امتداد خطوط میدان مغناطیسی انتشار می‌یابند [۱۷, ۴۷]. به عنوان مثال، CRs پژوهش [۴۷] که موضوع آن بررسی برهم‌کنش CRs با ابرهای پخشیده است، نشان داده است که چگالی CRs درون ابرها افزایش نمی‌یابد و گرمایش حاصل از CRs تنها در حضور میدان مغناطیسی نسبتاً قوی (۱۰ μG) یا فشار CRs بالا (۱۰ erg.cm^{-3}) قابل توجه است. در مورد گرمایش CRs می‌توان به تقریب نوشت [۲۱]:

$$\Gamma_{CR} = 1.1 \times 10^{-11} \zeta_{H_2} n_{H_2} \approx 3 \times 10^{-28} n_{H_2} \text{ erg.cm}^{-3}.s^{-1} \quad ۲۳$$

همچنین با توجه به معادله ۹، می‌توانیم بنویسیم:

$$\Gamma_{CR} = \Gamma_0'' \rho \quad ۲۴$$

که در آن Γ'' ثابت است.

سرماش و گرمایش

در مورد نرخ گرمایش کل می‌توان نوشت:

$$\Gamma_{tot} = \Gamma_* + \Gamma_B + \Gamma_{CR} \quad ۲۵$$

که Γ_* نرخ گرمایش حاصل از مجموع تمام فرایندهای دیگر است. رابطه فوق را می‌توانیم به این صورت بازنویسی کنیم:

$$\Gamma_{tot} = \Gamma_* + \Gamma_0 \rho^m + \Gamma_0' \rho^n + \Gamma_0'' \rho. \quad ۲۶$$

توابع مختلفی با برآشش بر داده‌های تجربی، برای نرخ سرماش در ISM پیشنهاد شده‌اند [۴۸]. در این بین،

اکنون می‌توانیم به ضریب پخش دوقطبی پردازیم که البته در مطالعه ابرهای مولکولی سرد و تاریک اهمیت بیشتری دارد. می‌توانیم بنویسیم:

$$\eta_A = \frac{1}{4\pi\gamma_A\rho_i\rho} \quad ۱۹$$

γ_A ضریب رانش دوقطبی نام دارد که از نیروی اصطکاکی بین یون‌ها و ذرات خنثی ناشی می‌شود [۳۲, ۴۲] و ρ_i چگالی یونی است.

رابطه بین چگالی یونی و چگالی گاز به صورت $\rho_i \cong \epsilon \rho^n$ بیان می‌شود که در آن $\epsilon \rho^n$ یک ضریب ثابت است. این رابطه نشان دهنده این واقعیت است که در حالت تعادل، نرخ بازترکیب^۱ با نرخ یونش برابری می‌کند. در واقع، به شرط تعادل می‌توان مقدار n را تقریباً $\frac{1}{2}$ فرض کرد، در حالی که $n \neq \frac{1}{2}$ دلالت بر انحراف از حالت تعادل دارد. به این ترتیب:

$$\eta_A = \frac{1}{4\pi\gamma_A\epsilon\rho^{\frac{3}{2}}} \quad ۲۰$$

گرمایش AD را می‌توان به این صورت نیز نوشت:

$$\Gamma_{AD} = \gamma_A \epsilon v_d^2 \rho^n = \Gamma_0' \rho^n \quad ۲۱$$

که در آن $v_d = \eta_A |(\nabla \times \mathbf{B}_0) \times \mathbf{B}_0|$ تندی رانش بین یون‌ها و ذرات خنثی و $\Gamma_0' = \gamma_A \epsilon v_d^2$ است. نهایتاً، نرخ گرمایش کل ناشی از MD می‌شود: $\Gamma_B = \Gamma_{Ohm} + \Gamma_{AD}$

واضح است که نرخ گرمایش کل به ضریب پخش مغناطیسی و ساختار میدان وابسته است.

پرتوهای کیهانی

یونش، گرمایش و اثرات دینامیکی سه نقش اصلی CRs در ابرهای مولکولی هستند [۱۸, ۴۳]. به طور کلی، نرخ یونش CRs به نسبت بین مقدار He و H ، H_2 در گاز میان‌ستاره‌ای بستگی دارد [۴۴]. عموماً فرض می‌شود که نرخ یونش CR برابر است با مقدار ثابت

^۱ Recombination

^۲ Spitzer Value

$$\Omega(\rho, T) = \Lambda(\rho, T) - \Gamma_{tot} = \Lambda_0 \rho^\delta T^\nu - (\Gamma_* + \Gamma_0 \rho^n + \Gamma'_0 \rho^m + \Gamma''_0 \rho)$$

۳۰

حال مفید است که مشتقات تابع سرمایش خالص را نسبت به چگالی و دما به دست آوریم:

$$\Omega_\rho \equiv \left(\frac{\partial \Omega}{\partial \rho} \right)_T \equiv \delta \Lambda_0 \rho^{\delta-1} T^\nu - (n \Gamma_0 \rho^{n-1} + m \Gamma'_0 \rho^{m-1} + \Gamma''_0)$$

۳۱

$$\Omega_T \equiv \left(\frac{\partial \Omega}{\partial T} \right)_\rho \equiv \nu \Lambda_0 \rho^\delta T^{\nu-1} - y \Gamma_0 \rho^m T^{y-1}$$

۳۲

همان‌طور که می‌بینیم، علامت Ω_ρ یعنی این که $\Omega_\rho > 0$ یا $\Omega_\rho < 0$ باشد، به Γ_{CR} و Γ_{AD} وابسته است. برای مورد $\Omega_\rho < 0$ ، می‌توان شرط کرد که:

$$\delta \Lambda_0 \rho^{\delta-1} T^\nu < m \Gamma_0 \rho^{m-1} + n \Gamma'_0 \rho^{n-1} + \Gamma''_0$$

۳۳

در واقع، معادله ۳۳ همیشه برای یک محیط نوری ضخیم ($\delta < 0$) معتبر است و در مورد محیط نوری نازک ($\delta > 0$) وابسته به چگالی، دما و مقدار δ است. باید اشاره کرد که جمله دوم در سمت راست نامعادله، در هر دو پیکربندی مغناطیسی میدان ثابت و میدان بی‌نیرو، صفر است.

علاوه بر این، برای مورد $\Omega_T < 0$ باید داشته باشیم:

$$\nu \Lambda_0 \rho^\delta T^{\nu-1} < y \Gamma_0 \rho^m T^{y-1}$$

۳۴

اعتبار این رابطه به شدت وابسته است به مقادیر عدد رینولدز مغناطیسی و عدد تلاطمی ماخ (نگاه کنید به معادله ۱۷).

اختلال خطی

در اینجا اختلالی خطی را بر معادلات اصلی که در بخش قبلی به دست آمده‌اند اعمال می‌کنیم. شکل اختلال خطی این است: $\Pi_1(r, t) \equiv \Pi_1 \exp(\omega t + i \mathbf{k} \cdot \mathbf{r})$

کویاما [۵۱] برای بیان انرژی حرارتی از دست رفته از تابعی استفاده کرد که از برآش بر محاسبات حرارتی و شیمیایی در [۵۲] حاصل شده بود. تابع برآش داده شده برای سرمایش در محیطی با عمق نوری کم به‌این صورت است:

$$\Lambda(\rho, T) = \frac{\rho}{m_H^2} \Lambda(T)$$

۲۷

جرم اتم هیدروژن و $\Lambda(T)$ عبارت است از:

۲۸

$$\frac{\Lambda(T)}{\Gamma_*} = 10^7 \exp\left(\frac{-1.184 \times 10^5}{T+1000}\right) + 1.4 \times 10^{-2} T^{\frac{1}{2}} \exp\left(\frac{-92}{T}\right)$$

همچنین، در مورد سایر فرایندهای گرمایش می‌توان در نظر گرفت که $\Gamma_* = 2 \times 10^{-26} \text{ erg.s}^{-1}$ این تابع را بسیاری پژوهشگران به کار گرفته‌اند. یک تابع سرمایش پیشنهادی دیگر که شکلی ساده و نمایی دارد نیز مورد توجه بوده است [۴۹]. این تابع که با برآش بر داده‌های تابش حاصل از مولکول‌های CO در ابرها به دست آمد. به‌این صورت نوشته می‌شود:

$$\Lambda(\rho, T) = \Lambda_0 \rho^\delta T^\nu$$

۲۹

که در آن Λ_0 و δ و ν ثابت‌هایی هستند که باید از داده‌های رصدی جایگزین شوند [۴۸، ۴۹]. در عین حال، مسلم است که برای محیط نوری نازک δ بیشتر از صفر است و برای محیط نوری ضخیم، کمتر از صفر [۳۲، ۴۹]. علاوه بر این، تغییرات معمولاً در محدوده مقادیر ۱.۴ تا ۲.۹ رخ می‌دهد. می‌توان به راحتی بررسی کرد و دید که این توابع سرمایش (روابط ۲۸ و ۲۹) به‌ازای مقادیر پایین چگالی و دما (محیط‌های نوری نازک) همپوشانی دارند. از آنجا که تحلیل ما تکیه بر تابع سرمایش خالص دارد که تنها به چگالی و دما وابسته است، می‌توانیم از هر کدام از توابع سرمایش، با در نظر گرفتن وضعیت محیط، استفاده کنیم.

تابع سرمایش خالص یا $\Omega(\rho, T)$ چنین تعریف می‌شود:

ضمناً داریم:

$$\mu_0 = \eta_0 + \mathbf{B}_0^2 \tilde{\eta}_0 \quad ۴۰$$

بدیهی است که اگر غلبه با پخش اهمی باشد می‌توان در نظر گرفت $\tilde{\eta}_0 = 0$ و نیز اگر پخش دوقطبه غالب باشد داریم $\eta_0 = \eta_1 = 0$. شکل خطی معادلات ۵، ۶ و ۸ عبارت خواهد بود از:

$$\begin{aligned} \frac{\omega}{\gamma - 1} P_1 - \frac{\omega \gamma P_0}{(\gamma - 1) \rho_0} \rho_1 + \rho_0 \Omega_\rho \rho_1 \\ + \rho_0 \Omega_T T_1 + (K_{\parallel} k_{\parallel}^2 + K_{\perp} k_{\perp}^2) T_1 = 0 \end{aligned} \quad ۴۱$$

$$\begin{aligned} \frac{\omega}{\gamma_{cr} - 1} P_{cr1} - \frac{\omega \gamma_{cr} P_{cr0}}{(\gamma_{cr} - 1) \rho_0} \rho_1 \\ + \kappa_{\parallel} \frac{(\mathbf{k} \cdot \mathbf{B}_0)^2}{\mathbf{B}_0^2} P_{cr1} = 0 \end{aligned} \quad ۴۲$$

$$\frac{P_1}{P_0} - \frac{\rho_1}{\rho_0} - \frac{T_1}{T_0} = 0 \quad ۴۳$$

$\Omega_T = \left(\frac{\partial \Omega}{\partial \rho} \right)_\rho$ و $\Omega_\rho = \left(\frac{\partial \Omega}{\partial \rho} \right)_T$ در حالت تعادل تعیین می‌شوند. علاوه بر این، لازم است چند عدد موج تعریف کنیم:

$$\begin{aligned} k_\rho &= \mu(\gamma - 1) \rho_0 \frac{\Omega_\rho}{R c_s T_0} \\ k_T &= \mu(\gamma - 1) \frac{\Omega_T}{R c_s T_0} \\ k_{K_{\parallel}} &= \frac{R c_s \rho_0}{\mu(\gamma - 1) K_{\parallel}} \\ k_{K_{\perp}} &= \frac{R c_s \rho_0}{\mu(\gamma - 1) K_{\perp}} \end{aligned} \quad ۴۴$$

همچنین متغیرهای بی بعد زیر را، برای به دست آوردن رابطهٔ پاشندگی، معرفی می‌کنیم:

$$\begin{aligned} \varpi &= \frac{\omega}{c_s k}, \sigma_\rho = \frac{k_\rho}{k}, \\ \sigma_T &= \frac{k_T}{k}, \sigma_{K_{\parallel}} = \frac{k}{k_{K_{\parallel}}}, \sigma_{K_{\perp}} = \frac{k}{k_{K_{\perp}}} \end{aligned} \quad ۴۵$$

همچنین:

بردار موج اختلال و ω نرخ رشد است. همچنین ما جملات تعادلی و اختلالی را با زیرنویس‌های ۰ و ۱ مشخص می‌کنیم. مشابه کارهای پیشین [۱۷، ۲۳، ۳۲، ۳۳] فرض خواهیم کرد که در حالت تعادل $\Omega(\rho_0, T_0) = 0$. به علاوه، ما دستگاه مختصاتی با سه محور e_y, e_x, e_z را به کار خواهیم گرفت که به این نحو تعریف می‌شوند:

$$e_z = \frac{\mathbf{B}_0}{\mathbf{B}_0} e_y = \frac{\mathbf{B}_0 \times \mathbf{k}}{|\mathbf{B}_0 \times \mathbf{k}|} e_x = e_y \times e_z \quad ۴۵$$

شکل خطی‌سازی شده معادلات ۱، ۲ و ۴ را بازنویسی می‌کنیم:

$$\omega \rho_1 + i \rho_0 \mathbf{k} \cdot \mathbf{V}_1 = 0 \quad ۴۶$$

$$\begin{aligned} \omega \rho_0 \mathbf{V}_1 + i \mathbf{k} P_1 + i \mathbf{k} P_{cr1} \\ + i (\mathbf{B}_0 \cdot \mathbf{B}_1) \frac{\mathbf{k}}{4\pi} \\ - i (\mathbf{k} \cdot \mathbf{B}_0) \frac{\mathbf{B}_1}{4\pi} = 0 \end{aligned} \quad ۴۷$$

$$\begin{aligned} \omega \mathbf{B}_1 + i \mathbf{B}_0 (\mathbf{k} \cdot \mathbf{V}_1) - i (\mathbf{k} \cdot \mathbf{B}_0) \mathbf{V}_1 \\ + \eta_0 (\mathbf{k} \cdot \mathbf{k}) \mathbf{B}_1 + \alpha_f^2 \eta_1 \mathbf{B}_0 + i \alpha_f \eta_1 \mathbf{k} \\ \times \mathbf{B}_0 \\ - \tilde{\eta}_0 (\mathbf{B}_0 \cdot \mathbf{B}_1) [(\mathbf{k} \cdot \mathbf{B}_0) \mathbf{k} - (\mathbf{k} \cdot \mathbf{k}) \mathbf{B}_0] \\ + \tilde{\eta}_0 (\mathbf{k} \cdot \mathbf{B}_0) [(\mathbf{k} \cdot \mathbf{B}_0) \mathbf{B}_1 - (\mathbf{k} \cdot \mathbf{B}_1) \mathbf{B}_0] \\ = 0 \end{aligned} \quad ۴۸$$

که در آن η_0 و η_1 به ترتیب، به عنوان ضریب پخش اهمی در حالت تعادلی و حالت اختلالی در نظر گرفته شده‌اند و $\tilde{\eta}_0$ نیز به عنوان ضریب پخش دوقطبه در حالت تعادل تعریف شده است. توجه داشته باشید که آخرین جمله معادله ۳۳ بر اساس قانون گاؤس برای میدان مغناطیسی صفر است ($\mathbf{k} \cdot \mathbf{B}_1 = 0$). بنابراین اگر ما حاصل ضرب نقطه‌ای \mathbf{B}_0 را با معادله ۳۳ به دست آوریم، خواهیم داشت:

$$\begin{aligned} \mathbf{B}_0 \cdot \mathbf{B}_1 &= \frac{1}{\omega + \mathbf{k}^2 \mu_0} (i (\mathbf{k} \cdot \mathbf{B}_0) (\mathbf{B}_0 \\ &\quad \cdot \mathbf{V}_1) - i B_0^2 (\mathbf{k} \cdot \mathbf{V}_1) \\ &\quad - \alpha_f^2 \eta_1 B_0^2) \end{aligned} \quad ۴۹$$

$$\begin{aligned}
 & \omega^6 + c_5\omega^5 + c_4\omega^4 \\
 & + c_3\omega^3 + c_2\omega^2 + c_1\omega + c_0 = 0 \quad ۵۱ \\
 & \text{در این رابطه داریم:} \\
 c_5 &= \sigma_T + \sigma_K + \psi\xi + \mu_0 \\
 c_4 &= \psi\xi(\sigma_T + \sigma_K) + 1 + \alpha + \frac{\gamma_c}{\gamma}\varphi \\
 &\quad + \mu_0[\sigma_T + \sigma_K + \psi\xi] \\
 c_3 &= \frac{1}{\gamma}(1 + \gamma\alpha + \gamma_c\varphi)(\sigma_T + \sigma_K) \\
 &\quad + \mu_0\left[\frac{1}{\gamma}\psi(\sigma_T + \sigma_K)\xi\right. \\
 &\quad \left.+ \frac{1}{\gamma}\left(\gamma + \frac{\gamma_c}{\gamma}\varphi\right)\right] \\
 &\quad + \alpha(\mu_x + \mu_y)(1 - \xi) \\
 c_2 &= \frac{\alpha\psi}{\gamma}(1 + \gamma\alpha)(\sigma_T + \sigma_K) - \frac{\psi\xi}{\gamma}\sigma_\rho \\
 &\quad + \alpha\xi\left(1 + \frac{\gamma_c}{\gamma}\varphi\right) \\
 &\quad + \mu_0\left[\frac{1}{\gamma}\left(1 + \frac{\gamma_c}{\gamma}\varphi\right)(\sigma_T\right. \\
 &\quad \left.+ \sigma_K) + \psi\xi - \frac{\sigma_\rho}{\gamma}\right] \\
 &\quad + \alpha(1 \\
 &\quad - \xi)\left[\frac{1}{\gamma}(\sigma_T + \sigma_K)(\mu_x\right. \\
 &\quad \left.+ \mu_y) - \frac{1}{\gamma}\sigma_\rho\mu_y\right. \\
 &\quad \left.+ \psi\xi(\mu_x + \mu_y)\right] \\
 c_1 &= \frac{\alpha\xi}{\gamma}(1 + \gamma_c\varphi)(\sigma_T + \sigma_K) - \frac{\alpha\xi}{\gamma}\sigma_\rho \\
 &\quad + \alpha\psi\xi^2 \\
 &\quad + \mu_0\psi\xi[\sigma_T + \sigma_K - \sigma_\rho] \\
 &\quad + \alpha\psi\xi[(\sigma_T + \sigma_K)(\mu_x\right. \\
 &\quad \left.+ \mu_y) - \mu_y\sigma_\rho](1 - \xi) \\
 c_0 &= \frac{\alpha\psi}{\gamma}\xi^2(\sigma_T + \sigma_K - \sigma_\rho) \quad ۵۲
 \end{aligned}$$

$\eta = 0$ در معادله مشخصه ۵۱ فرض کنیم که به معادله مشخصه‌ای که در [۱۷] به دست آمده است، خواهیم رسید و اگر بگیریم $\varphi \equiv \psi = 0$. معادله $\varphi \equiv \psi = 0$ ، به معادلات مشخصه حاصله در کارهای [۳۲] و [۳۳] مطابق است.

$$\sigma_K = \sigma_{K\parallel}\xi + \sigma_{K\perp}(1 - \xi) \quad ۴۶$$

اینجا ξ به صورت $\xi = \cos^2\theta$ تعریف شده که در آن θ زاویه بین 0 و \mathbf{B}_0 و \mathbf{k} سرعت صوت است. می‌توان سرعت آلفون ($v_A = \sqrt{\gamma P_0 / \rho_0}$) را به کمک سرعت صوت به شکل بی‌بعد نوشت:

$$v_c \equiv \frac{v_A}{c_s}, \alpha \equiv v_c^2 \quad ۴۷$$

چهار پارامتر مهم و بی‌بعد دیگر نیز باید در نظر گرفته شود. φ و ψ بیانگر اثرات CRs هستند و چنین تعریف می‌شوند:

$$\varphi = \frac{P_{cr0}}{P_0}, \psi = \psi_0 \frac{k}{k_\rho} \quad ۴۸$$

$$\psi_0 = (\gamma_{cr} - 1)k_\rho \frac{\kappa_{\parallel}}{c_s}$$

μ_0 و μ_1 نیز نشان‌دهنده اثرات پخشی هستند که طبیعتاً تعاریف متفاوتی به ازای پخش اهمی و پخش دوقطبی خواهند داشت: اگر غلبه با پخش اهمی باشد:

$$\mu_0 = \frac{k}{c_s}\eta_0, \mu_1 = \frac{\alpha_f^2}{kc_s}\eta_1$$

$$\eta_1 = \eta_0\left(x\frac{\rho_1}{\rho_0} + y\frac{P_1}{P_0}\right)$$

و اگر غلبه با پخش دوقطبی باشد:

$$\mu_0 = \frac{kB_0^2}{c_s}\eta_0, \mu_1 = 0 \quad ۴۹$$

که x و y ثابت هستند. نهایتاً، اگر β را که کمیتی ثابت و بی‌بعد است، به صورت زیر تعریف کنیم:

$$\beta = (\alpha_f/k)^2$$

خواهیم داشت:

$$\mu_x = \frac{\alpha_f^2}{kc_s}\eta_0x = \beta\mu_0x \quad ۵۰$$

$\mu_y = \frac{\alpha_f^2}{kc_s}\eta_0y = \beta\mu_0y$ واضح است که اگر $\beta = 0$ مسئله به پیکربندی میدان ثابت فرومی‌کاهد. با اندکی محاسبه رابطه پاشندگی به صورت زیر به دست می‌آید:

به طوری که نواحی پایداری با افزایش $\mu_0 < 1$ گسترش می‌یابند. با این حال، موضوع برای μ_1 کمی متفاوت است. همان‌طور که قبلاً بیان شد، مورد $\beta = 0$ و $0 \neq \mu_0$ نشان‌دهنده پیکربندی میدان ثابت و مورد $0 \neq \beta$ دال بر پیکربندی میدان بی‌نیرو است. بنابراین، ساختار میدان مغناطیسی در مطالعهٔ ناپایداری حرارتی بسیار مهم است. توجه داشته باشید که شکل ۱ برای مورد $0 < \sigma_\rho$ رسم شده است، با این حال، دامنهٔ پایداری برای حالت $0 > \sigma_\rho$ متناظر با ناحیهٔ بالایی است، منطقه‌ای که بین خط تیره و محور افقی محصور شده است، به جز قسمتی که $0 \neq \beta > 0$ و $\sigma_\rho > 0$.

شکل ۲ اثرات توانمند هر دو پدیده (CRs و MD) را برای برخی از مقادیر β و ζ نشان می‌دهد. سمت چپ شکل ۲ به ازای $0.01 = \zeta$ و طرف دیگر این نمودار برای $0.1 = \zeta$ رسم شده است. همان‌طور که می‌بینید، افزایش β نواحی پایداری را در هر دو طرف را برای $0 < \sigma_\rho$ کاهش می‌دهد. از مقایسهٔ دو طرف نمودار می‌توان نتیجه گرفت که نقش زاویهٔ بین \mathbf{k} و \mathbf{B} در بررسی حوزه‌های پایداری در میدان مغناطیسی بی‌نیرو غیر قابل چشمپوشی است. به عبارت دیگر، دانستن پیکربندی میدان مغناطیسی بسیار مهم است. شکل ۳ همان شکل ۲ است با $\mu_0 = 0$ متفاوت. مقایسهٔ بین شکل ۳، نشان می‌دهد که اثرات μ_0 و β برای مورد $0 < \mu_0$ متفاوت و برای مورد $1 > \mu_0$ مشابه می‌باشند. با این حال، تغییر θ برای μ_0 اهمیت بیشتری دارد تا β . شکل ۴ نواحی پایداری در حالت $0 > \sigma_\rho > \beta$ نشان می‌دهد. همان‌طور که دیده می‌شود، تغییر نواحی پایداری در مورد $0 > \sigma_\rho > 0$ تنها برای $\beta \neq 0$ رخ می‌دهد. به عبارت دیگر، این تغییر تنها زمانی ظاهر می‌شود که میدان مغناطیسی ثابت نباشد.

نمودارهای ۵ و ۶ نرخ رشد مد تراکم حرارتی را در برابر عدد موج‌های اختلالی نمایش می‌دهند. شکل ۵ برای مورد $0 < \sigma_\rho$ و شکل ۶ برای $0 > \sigma_\rho$ رسم شده است

منجر می‌شود. همچنین این معادله، با حذف اثر CRs و $\text{MD} = \psi \equiv \eta = 0$ به معادله مشخصه استاندارد ناپایداری مغناطوحرارتی [۲۳] ساده می‌شود. مسائل ذکر شده در شکل ۱ تصویر شده‌اند. به عبارت دیگر، معادلهٔ ۵ امواج مغناطوحرارتی در یک گاز یونیده ضعیف را در حضور CRs و MD توصیف می‌کند. ما به منظور به دست آوردن ریشه‌های این معادله مشخصه، آن را به صورت عددی و با استفاده از روش لاغر [۴۹] حل می‌کنیم. نهایتاً، نواحی پایداری (محدوده‌ای از مقادیر که به ازای آن بخش حقیقی همه ریشه‌های معادله مشخصه منفی باشند) و ناپایداری (محدوده‌ای از مقادیر که به ازای آن بخش حقیقی حداقل یکی از ریشه‌های معادله مشخصه مثبت باشد) با توجه به تغییر علامت ریشه‌ها، از هم تفکیک می‌شوند.

نتایج و تحلیل

در این بخش، هدف ما تحلیل نتایج به دست آمده است که در نمودارهای ۱ تا ۸ خلاصه شده‌اند. شکل‌های ۱ تا ۴ نواحی پایداری (و ناپایداری) را نشان می‌دهند و محور عمودی و افقی به ترتیب به σ_ρ و $\sigma_{T'} = \sigma_K + \sigma_T$ نرخ رشد را در برابر عدد موج اختلال نمایش می‌دهند. در نهایت، در نمودارهای ۷ و ۸ نرخ رشد را در مقابل MD بی‌بعد می‌بینیم.

در سمت چپ شکل ۱ نواحی پایداری $\text{CRs} = 0$ مشابه [۱۷] نمایش داده شده است، در حالی که نمودار سمت راست، نواحی پایداری $\text{MD} = \psi \equiv \eta = 0$ مشابه [۳۲، ۳۳] را نشان می‌دهد. همان‌طور که در سمت چپ شکل ۱ دیده می‌شود، اثر CRs حساسیت زیادی نسبت به ζ (یا θ که بیان گر زاویه بین \mathbf{k} و \mathbf{B} است) دارد، به طوری که نواحی پایداری با کاهش این زاویه به طور محسوسی کوچک می‌شوند، و برعکس. اثر MD در سمت راست شکل ۱ نشان داده شده است

پخش اهمی، می‌توانیم طول موج مشخصه‌ای را به صورت زیر به دست آوردهیم:

$$\lambda_0 \equiv 2\pi \frac{M}{R_{em}} \lambda_j \quad 53$$

به عنوان نمونه، اگر $M = 4$ و $R_{em} = 100$ داریم:

$$\lambda_0 \equiv 0.25\lambda_j \quad 54$$

طول موج جینز برای ابر رشته‌ای $0.1 PC$ است که منجر به $\lambda_0 = 0.025 PC$ می‌شود. این موضوع ممکن است در مطالعه شکل‌گیری ستارگان کم جرم مهم باشد. همچنین با فرض غلبه پخش دوقطبی، ما می‌توانیم طول موج مشخصه‌ای را برای مورد $1 = \mu_0$ به دست آوریم:

$$\lambda_A \equiv \frac{2\pi B_0^2}{c_s} \eta_0 \equiv \frac{2\pi c_s}{\epsilon \gamma_A} \frac{\alpha}{\sqrt{\rho}} \quad 55$$

حال مفید است که λ_A را در یک مورد معمول در نظر بگیریم. مقادیر زیر را در معادله ۴۵ جایگزین می‌کنیم:

$$c_s = 3 \times 10^5 \text{ cm/s}$$

$$\gamma_A = 3.5 \times 10^{13} \text{ cm}^3 \cdot g^{-1} \cdot s^{-1}$$

$$\epsilon = 3 \times 10^{-16} g^2 \cdot cm^{-\frac{3}{2}}$$

$$\alpha = 1$$

خواهیم داشت:

$$\lambda_A \cong 0.05 PC \left(\frac{10^6 \text{ cm}^{-3}}{n_g} \right)^{\frac{1}{2}} \quad 56$$

در حالت $1 < \mu_0$ واضح است که $\lambda_A > \lambda$ و برای $1 > \mu_0$ نیز $\lambda_A < \lambda$. توجه کنید که این مقدار به شعاع هسته‌ها^۱ در ابر مولکولی در حال فروریزش بسیار نزدیک است [۲۱]. حال مناسب است که بحثی در مورد رابطه طول موج مشخصه و مقیاس زمانی AD یا τ_{AD} داشته باشیم. به طور کلی اطلاع از دو پارامتر مهم، یعنی تابع سرمایش خالص و مقیاس زمانی آن، برای بررسی وقوع ناپایداری حرارتی در یک محیط ضروری است. فیلد ثابت کرد [۲۳] که ناپایداری حرارتی می‌تواند باعث رشد سریع آشفتگی در چگالی گاز، از اختلالی

است. همان‌طور که مشهود است، افزایش μ_0 نرخ رشد مد تراکمی حرارتی در شکل ۶ را افزایش می‌دهد. همچنین افزایش β نیز به طور قابل توجهی نرخ رشد مد تراکم حرارتی برای مورد $0 > \sigma_\rho$ را بالا می‌برد. با این حال، وضعیت در شکل ۵ متفاوت است. در حالت $\sigma < 0$ ، افزایش μ_0 و β هر دو منجر به کاهش نرخ رشد می‌گردند. در واقع برای مورد $0 < \sigma$ ، MD روی نرخ رشد اثر کاهشی دارد، در حالی که در حالت $0 > \sigma$ این تأثیر افزایشی است.

در نمودارهای ۷ و ۸ نرخ رشد مد تراکم حرارتی در قیاس با ضریب MD بی‌بعد ترسیم شده است. شکل ۷ برای برخی از مقادیر β و در هر دو مورد $0 < \sigma_\rho$ و $\sigma_\rho > 0$ رسم شده و نمایانگر اثر پیکربندی میدان بی‌نیرو است. شکل ۸ نیز نرخ رشد را در همین شرایط و به‌ازای برخی از مقادیر φ نشان می‌دهد. با افزایش β نرخ رشد در هر دو مورد $0 < \sigma_\rho$ و $\sigma_\rho > 0$ در شکل ۷ بیشتر می‌شود، در حالی که در شکل ۸ در هر دو مورد، شاهد کاهش نرخ رشد با افزایش φ هستیم. علاوه بر این، توجه کنید که نرخ رشد در محدوده $< 0 < \mu_0$ و به‌ازای $0 < \sigma_\rho$ تابعی کاهشی است؛ در حالی که در همین مورد و در محدوده $5 < \mu_0 < 1$ روند افزایشی دارد. در قیاس با این رفتار، در مورد $\sigma_\rho > 0$ ، نرخ رشد در سراسر محدوده $< 5 < \mu_0 < 0$ تابعی صعودی از μ_0 است؛ به‌طوری که در بازه $1 < \mu_0 < 5$ سریع‌تر از $1 < \mu_0 < 0$ رشد می‌کند.

پیکربندی میدان ثابت

نتایج به دست آمده نشان می‌دهد که نواحی پایداری برای دو وضعیت $1 < \mu_0$ و $1 > \mu_0$ بسیار متفاوت می‌باشند. برای مورد $1 = \mu_0$ با فرض غالب بودن

$75K$ در منابع این تحقیق مورد مطالعه قرار گرفته است و معلوم شده که چنین ابری، از نظر حرارتی، ناپایدار است. بر این اساس، می‌توان تراکم حرارتی را به عنوان مرحله‌ای مقدماتی برای فروریزش گرانشی در ابرهای مولکولی در نظر گرفت و لذا، ناپایداری حرارتی می‌تواند منشأ مهمی برای ساختارهای ریزمقیاس در ابرهای کاملاً مولکولی باشد. همچنین معلوم شده است که ناپایداری حرارتی در پلاسمای ضعیف یونیده، حتی در مقیاس‌های طولی کوچک نیز می‌تواند رشد کند. حتی برای باریکه‌ای از یک ابر مولکولی (ساختار مغناطیسی تک بعدی و خود-گرانشی، شامل گرمایش AD در اصطکاکی ناشی از رانش یون-خنثی) گرمایش AD در نواحی بیرونی باریکه مهم‌تر از نرخ متوسط گرمایش حاصل از CRs و حرکت‌های تلاطمی است و ناپایداری حرارتی هم‌فشار می‌تواند در این ناحیه صورت گیرد. علاوه بر این، ناپایداری حرارتی تحت اثر AD در هسته‌های ابر مولکولی $- (n \sim 10^5)$ $10^6 cm^{-3}$ در یک هسته استوانه‌ای (با تقارن محوری) می‌تواند رشد کند. این خلاصه‌ای از نتایج بدست آمده در منابع تحقیق ماست.

حال مفید است یکی از پیامدهای اختوفیزیکی این نتایج را مورد توجه قرار دهیم. به عنوان مثال، ما یک گاز ضعیف یونیده را در نظر می‌گیریم که در معرض موج ضربه‌ای حاصل از یک ابرنواختر قرار گرفته است. اولین نکته‌ای که باید مشخص شود، زاویه بین جهت انتشار اختلال ناشی از موج ضربه‌ای از ابرنواختر و راستای خطوط میدان مغناطیسی در ابر است. نکته دوم، تعیین طول موج مشخصه است که به خواص فیزیکی گاز یونیده، از جمله چگالی آن، بستگی دارد. اگر طول موج اختلال بیشتر از طول موج مشخصه باشد، MD برای مورد $0 \rightarrow \zeta$ باعث افزایش تحمل مغناطیسی در برابر فروریزش گرانشی می‌شود و در مورد $1 \rightarrow \zeta$ آن را کاهش می‌دهد.

بسیار کوچک چگالی تا دامنه‌های غیرخطی، شود. این اتفاق وقتی رخ می‌دهد که در مقیاس زمانی سرماشی، τ_c ، بسیار کوتاه‌تر از زمان دینامیکی، τ_{dy} ، در شرایط معمول در ISM باشد. از طرف دیگر، شو نشان داد [۴۲] که مقیاس زمانی پخش دوقطبی در یک ابر مولکولی معمولی را می‌توان به صورت $= \tau_{AD}$ $10^8 \left(\frac{\lambda}{PC}\right)^2 yr$ تقریب زد؛ که اینجا λ طول موج اختلال بر حسب واحد پارسک است. بر این اساس، می‌توان انتظار داشت که برای طول موج بحرانی $= \lambda$ 0.05 که منجر به $\tau_{AD} = \tau_c$ می‌گردد، پخش دوقطبی مهم باشد. این موضوع ممکن است در مطالعه نظریه تشکیل ستارگان کم جرم معنی‌دار باشد.

پیکربندی میدان بی‌نیرو

یکی از مهم‌ترین نتایج در مورد پیکربندی میدان بی‌نیرو، عبارت است از تعییر در نواحی پایداری برای حالت $0 > \sigma_p$. به بیان بهتر، نواحی پایداری برای مورد $0 > \sigma_p$ ثابت است، تنها اگر $\beta = 0$ اثر دیگر میدان بی‌نیرو، کاهش نواحی پایداری است. همان‌طور که در شکل ۴ دیده می‌شود، در مورد $0 > \sigma$ نواحی پایداری می‌توانند به طور کامل ناپدید شوند؛ به خصوص زمانی که $0 \neq \beta$ و $0 \rightarrow \zeta$. همچنین، اثر پیکربندی میدان بی‌نیرو منجر به افزایش نرخ رشد در مورد $0 > \sigma$ می‌شود.

بحث

ما این بخش را با جستجوی محدوده‌هایی از چگالی در ابرهای مولکولی آغاز می‌کنیم که در آنها وقوع ناپایداری حرارتی ممکن است مهم باشد. به علاوه، برای ما مهم است که بدانیم اثر پخش دوقطبی در این محدوده‌ها قابل توجه است، یا نه. در ارتباط با این موضوع، وقوع ناپایدار حرارتی در ابرهای مولکولی (با چگالی $\zeta \approx 10^3 cm^{-3}$ و دمای $n \approx 35$ – T)

ضخیم یا $\delta > 0$). با این حال، چندان مشخص نیست که چگونه طول موج بحرانی که همیشه صفر است، به عنوان تابعی از Γ' بدست می‌آید و منجر به طول موجی موہومی می‌گردد (به معادله ۳۸ در [۳۳] و رابطه ۳۵ در [۳۵] نگاه کنید).

نتیجه‌گیری

این مطالعه با هدف بررسی اثرات دینامیکی MD و CRs بر وقوع ناپایداری حرارتی در یک گاز تا حدی یونیزه انجام گرفت. گاز یونیده جزئی و CRs به عنوان دو سیال در نظر گرفته شدند، با این قید که سیال CRs در امتداد خطوط میدان مغناطیسی منتشر می‌شود. ما پخش میدان مغناطیسی را با تحلیل اختلال خطی و ضمن در نظر گرفتن تؤامان پخش اهمی و پخش دوقطبی مورد بررسی قرار دادیم. در واقع، ما کار [۱۷] را که در چارچوب MHD آرمانی انجام شده بود، در قالب MHD غیرآرمانی توسعه دادیم. همچنین ما دو ساختار متمایز را برای میدان مغناطیسی در نظر گرفتیم، یعنی پیکربندی میدان ثابت و دیگری پیکربندی میدان بی‌نیرو؛ دو ساختاری که منجر به نتایج متفاوتی شدند. میدان بی‌نیرو اثر دینامیکی ندارد، اما اثرات پدید می‌آورد. امکان پدید آمدن پیکربندی میدان بی‌نیرو در ISM را برای توضیح ظاهر پیچ‌خورده برخی ابرهای رشته‌ای مطرح شده است. در ساختاری چنین در هم پیچیده، تنها با وجود میدان تقریباً بی‌نیرو است که اثرات الکترومغناطیسی بیش از حد مختل نخواهد بود. در هر حال، ما یک معادله مشخصه درجه ششم به دست آورده‌یم که حالت‌های پایدار و ناپایدار را در یک گاز تا حدی یونیده که CRs و MD در آن تؤامان ایفای نقش می‌کنند، مشخص می‌نماید. نتایج به دست آمده را می‌توان در دو رده خلاصه کرد: یکی اثرات AD و CRs بر نواحی پایداری و دیگری اثرات AD و CRs بر نرخ رشد.

مقایسه با پژوهش‌های پیشین

همان‌طور که می‌دانیم بخش‌هایی از کار فعلی ما، در کارهای پیشین پژوهشگران، به‌طور مجزا و نه تؤامان، مورد توجه قرار گرفته‌اند. به اثر CRs در [۱۷] و MD در [۳۴] و [۳۵] پرداخته شده است. به عنوان مثال، شادمهری و همکاران [۳۴] ناپایداری حرارتی پلاسمای MD در حضور مطالعه کردند. مدتی بعد، این مطالعه توسط خصالی و همکاران [۳۵] در مورد ISM به کار گرفته شد و توسعه یافت. متأسفانه، در هر دو اثر، در مشتق‌گیری از رابطه پاشندگی مشکلی وجود دارد (توجه کنید که رابطه پاشندگی و ضربه‌های آن در هر دو اثر یکسان است). به تبع این اشکال، رابطه پاشندگی در این آثار، به آنچه در [۳۲، ۳۳] در مورد پخش صرفاً دوقطبی به دست آمده است، فرونمی کاهد. لذا، نتایج این پخش از کار ما نیز قابل مقایسه با آثار مذکور نیست. ضمناً، در رابطه با همین مسئله، ما مشتق معادله پاشندگی را با جزئیات بیشتر در پیوست الف ارائه کرده‌ایم.

در مطالعات [۳۲، ۳۳، ۳۵] صرفاً اثر AD (بدون حضور CRs) در حالت $1 < \mu_0$ مورد توجه قرار گرفته است. ایشان به‌این نتیجه رسیدند که AD تنها باعث کاهش تحمل مغناطیسی در برابر فروریزش گرانشی می‌شود. آنها بررسی خود را به شرایط مذکور محدود کردند و مورد $1 < \mu_0$ را بررسی نکردند. علاوه بر این، ایشان، در غیاب CRs، طول موج‌های بحرانی را برای موارد $\sigma_\rho > 0$ و $\sigma_\rho < 0$ به تفصیل به دست آورده‌اند. نکته اصلی آن است که این پژوهشگران فرض کردند که میدان مغناطیسی، در حالت تعادل، ثابت است و به همین دلیل سرعت رانش بین یون‌ها و ذرات ختی، v_d ، صفر است؛ زیرا داریم $\nabla \times \mathbf{B}_0 = 0$. در نتیجه، گرمایش AD صفر است ($\mathbf{B}_0 = 0$ ، معادله ۲۱ را ببینید) و در واقع حالت $\sigma_\rho < 0$ در غیاب CRs حذف می‌شود (به استثناء مورد محیط نوری

CRs نرخ رشد را در مورد $0 < \Omega_\rho$ متوقف می‌کنند. به عبارت دیگر، در این حالت، میدان بی‌نیرو منجر به افزایش نرخ رشد می‌شود. ما همچنین متوجه شدیم که نرخ رشد برای موارد $1 < \mu_0 < \mu_0 + 1$ و $\Omega_\rho < 0$ تفاوت است. نرخ رشد برای حالتی که $1 < \mu_0$ و $\Omega_\rho > 0$ تابعی نزولی از μ_0 خواهد بود؛ در حالی که اگر $1 > \mu_0$ و $\Omega_\rho > 0$ تابع صعودی است. اگر $\Omega_\rho > 0$ نرخ رشد، در هر حال، تابعی افزایشی از μ_0 است. اگرچه در هر دو حالت ممکن برای تابع سرمایش خالص، CRs منجر به توقف نرخ رشد تراکم حرارتی می‌گردد، اما در عوض، شدت میدان بی‌نیرو نرخ رشد را افزایش می‌دهد. به این ترتیب، می‌توانیم نتیجه بگیریم که اثر MD بستگی به عالمت تابع سرمایش خالص (Ω_ρ) دارد؛ در حالی که CRs و میدان بی‌نیرو، به ترتیب، اثر کاهشی و افزایشی بر نرخ رشد تراکم حرارتی دارند. این موضوع ممکن است در مطالعه ساختار قبه‌ها^۱ مهم باشد.

در نهایت نتایج مهم این پژوهش را می‌توان به طوری که در ادامه اشاره می‌کنیم، خلاصه نمود:

- (۱) CRs، در حضور MD ، نرخ رشد مد تراکم حرارتی را متوقف می‌کنند؛ فارغ از اینکه σ_ρ چه عالمتی داشته باشد. علاوه، اثرات دینامیکی CRs به ضریب پخش موازنی با میدان و فشار CRs مرتبط هستند؛ لذا اگر $\zeta \rightarrow 0$ حضور CRs تحمل مغناطیسی را افزایش می‌دهد و اگر $\zeta_c \rightarrow \zeta$ ، برعکس. خلاصه اینکه، در آن نواحی که CRs حضور دارند، تشکیل ساختار از طریق ناپایداری حرارتی کنتر رخ می‌دهد.

(۲) اثر دینامیکی MD بر اثر دینامیکی CRs غالباً است.

اثرات AD و CRs بر نواحی پایداری در موارد $\Omega_\rho > 0$ و $0 < \Omega_\rho$ بسیار متفاوت است. برای مورد $\Omega_\rho > 0$ ، ما تنها وقتی شاهد یک تغییر قابل توجه در نواحی پایداری هستیم که ساختار میدان بی‌نیرو است، یعنی $\beta \neq 0$. در این حالت، با افزایش β نواحی پایداری کاهش می‌یابند. علاوه بر این، متوجه شدیم که اثر MD بر نواحی پایداری به ازای $1 < \mu_0 < \mu_0 + 1$ متمایز است. اگر که $0 < \Omega_\rho < \mu_0$ و $1 < \theta_c = 0.73$ یا $\zeta_c = 43^\circ$ وجود دارد که سیستم در برابر اختلال پایدار است. برای حالت $1 < \mu_0$ و $0 \rightarrow \zeta$ ، با افزایش μ_0 نواحی پایداری گسترش می‌یابند، در حالی که وقتی $\zeta_c \rightarrow \zeta$ افزایش β نیز نواحی پایداری را کاهش می‌دهد. این کاهش در مورد $\zeta \rightarrow 0$ نسبت به حالتی که $\zeta_c \rightarrow \zeta$ شدیدتر است. البته میزان این کاهش به μ_0 نیز بستگی دارد؛ هرچه μ_0 بیشتر، کاهش نواحی پایداری شدیدتر. ما همچنین دریافیم که فشار CRs و ضریب پخش CRs راستای موازی با میدان، تحمل مغناطیسی را در برابر فروزش گرانشی افزایش می‌دهند. تحمل مغناطیسی وقتی که $0 \rightarrow \zeta$ خیلی بیشتر از مورد $\zeta_c \rightarrow \zeta$ می‌باشد. علاوه بر این، مشخص شد که اثر MD بر اثر CRs غلبه دارد، به طوری که ما می‌توانیم یک طول موج مشخصه برای مورد $1 < \mu_0 < \mu_0 + 1$ معرفی کنیم. لذا، برای مورد $1 < \mu_0 < \mu_0 + 1$ داریم $\lambda_c < \lambda < \lambda_c$ و $\lambda > \lambda_c$ برای مورد $0 < \Omega_\rho < \Omega_\rho$. وقتی که $\lambda < \lambda_c$ اثرات دینامیکی CRs و MD بر نواحی پایداری مشابه است. جالب است که مقدار این طول موج، λ_c به شعاع هسته‌های در حال فروزش نیز بسیار نزدیک است [۲۱].

درست مثل نواحی پایداری، اثرات MD و CRs بر نرخ رشد هم، به ازای $0 < \Omega_\rho < 0$ و $\Omega_\rho > 0$ یکسان نخواهد بود. ما متوجه شدیم که اگر $\beta = 0$ باشد

^۱ Clumps

پیوست محاسباتی

در اینجا رابطه پاشندگی را با جزئیات بیشتر بررسی می‌کنیم. اگر کار را با معادله ۴ شروع کنیم، مسیر سرراست‌تری خواهیم داشت. با اعمال اختلال خطی روی معادله ۴ داریم:

$$\begin{aligned} \omega \mathbf{B}_1 - i(\mathbf{k} \cdot \mathbf{B}_0)(\mathbf{B}_0 \cdot \mathbf{V}_1) \\ - i\mathbf{B}_0^2(\mathbf{k} \cdot \mathbf{V}_1) + ik \\ \times (\eta_1(\nabla \times \mathbf{B}_0) + \eta_0\nabla \\ \times (\nabla \times \mathbf{B}_0) - \eta_0\mathbf{k} \\ \times (\mathbf{k} \times \mathbf{B}_1) + \eta_1\mathbf{k} \\ \times [(\mathbf{k} \times \mathbf{B}_1) \times \mathbf{B}_0] \times \mathbf{B}_0 \\ = 0 \end{aligned} \quad (۱)$$

واضح است که دو جمله آخر این معادله را می‌توان با قاعده برداری $\mathbf{BAC-CAB}$ ساده کرد. به عنوان مثال، می‌توان نوشت:

$$\begin{aligned} \mathbf{k} \times (\mathbf{k} \times \mathbf{B}_1) &= \mathbf{k}(\mathbf{k} \cdot \mathbf{B}_1) \\ - \mathbf{B}_1(\mathbf{k} \cdot \mathbf{k}) &= -k^2\mathbf{B}_1 \end{aligned} \quad (۲)$$

بنا بر قانون گاؤس برای میدان مغناطیسی $\mathbf{k} \cdot \mathbf{B}_1 = 0$ است. رویه مشابهی را می‌توان برای آخرین جمله معادله ۱ نیز به کار برد که نتیجه نهایی آن در معادله ۳۳ آمده است. بنابراین اگر حاصل ضرب نقطه‌ای \mathbf{B}_0 را با معادله ۳۳ به دست آوریم، نتیجه می‌شود:

$$\begin{aligned} \mathbf{B}_0 \cdot \mathbf{B}_1 &= \frac{1}{\omega + k^2\mu_0} (i(\mathbf{k} \cdot \mathbf{B}_0)(\mathbf{B}_0 \\ \cdot \mathbf{V}_1) - i\mathbf{B}_0^2(\mathbf{k} \cdot \mathbf{V}_1) \\ - \alpha_f^2\eta_1\mathbf{B}_0^2) \end{aligned} \quad (۳)$$

که $\mu_0 = \eta_0 + \mathbf{B}_0^2\tilde{\eta}$ است. اگر حاصل ضرب نقطه‌ای $\mathbf{B}_0\mathbf{k}$ و معادله ۳۲ را حساب کنیم، می‌رسیم به:

$$\mathbf{V}_1 \cdot \mathbf{B}_0 = -\frac{i(P_1 + P_{1cr})k\mathbf{B}_0 \cos \theta}{\omega\rho_0} \quad (۴)$$

$$\mathbf{k} \cdot \mathbf{V}_1 = -\frac{ik^2}{\omega\rho_0} \left(P_1 + P_{1cr} + \frac{\mathbf{B}_0 \cdot \mathbf{B}_1}{4\pi} \right) \quad (۵)$$

(۳) پیکربندی میدان مغناطیسی بی‌نیرو، در هر دو حالت ρ ، نواحی پایداری را کاهش می‌دهد.
در آن نواحی که ساختار مغناطیسی بی‌نیرو دارند، تشکیل ساختار از طریق ناپایداری حرارتی سریع‌تر رخ می‌دهد؛ در نتیجه، ساختارهای قهقهه‌ای در این نواحی از ابرها، بیشتر دیده می‌شوند.

(۴) MD، در قبال تراکم حرارتی، دارای دو رفتار متمایز است؛ به طوری که می‌تواند هم باعث افزایش تحمل مغناطیسی شود و هم منجر به کاهش آن گردد. در این باره، ما می‌توانیم طول موج مشخصه‌ای را بر مبنای برخی خواص فیزیکی تعریف کنیم. در شرایطی که غلبه با پخش اهمی است، می‌توان این طول موج را بر حسب عدد ماخ و عدد رینولدز مغناطیسی بیان کرد و در صورت غالب بودن AD، این طول موج به سرعت آلفون و چگالی گاز بستگی خواهد داشت.

(۵) آهنگ تشکیل ساختار از طریق ناپایداری حرارتی در آن نواحی که MD مهم است، تابع علامت تابع سرمایش خالص است و همچنین وابسته به مقادیر ضریب MD و طول موج اختلال.

که اینجا f چنین تعریف می‌شود:

$$f = (\omega + \mu_0 k^2 \mathbf{B}_0^2) + \frac{k^2 \mathbf{B}_0^2}{4\pi\omega\rho_0} \quad (10)$$

همچنین معادلات ۳۶ و ۳۷ را می‌توان به‌طور زیر نوشت:

$$\begin{aligned} & \frac{\omega}{\gamma - 1} P_1 + \left(\rho_0 \Omega_\rho - \frac{\omega \gamma P_0}{(\gamma - 1) \rho_0} \right) \rho_1 \\ & + \left(\rho_0 \Omega_T + (K_{\parallel} k_{\parallel}^2 + K_{\perp} k_{\perp}^2) \right) \left(\frac{T_0}{P_0} P_1 \right. \\ & \left. - \frac{T_0}{\rho_0} \rho_1 \right) = 0 \end{aligned} \quad (11)$$

$$\frac{P_{cr1}}{P_{cr0}} = \left(\frac{1}{\gamma_{cr}} + \frac{\kappa_{\parallel} k^2 (\gamma_{cr} - 1)}{\omega} \cos^2 \theta \right)^{-1} \frac{\rho_1}{\rho_0} \quad (12)$$

واضح است که می‌توان معادله مشخصه را بر حسب ρ_1 ، $\mathbf{B}_0 \cdot \mathbf{B}_1$ و $\mathbf{k} \cdot \mathbf{V}_1$ به دست آورد.

حال اگر معادلات ۴ و ۵ را در معادله ۳ جایگزین کنیم، داریم:

$$\begin{aligned} & (\omega + k^2 \mu_0) \mathbf{B}_0 \cdot \mathbf{B}_1 \\ & = \frac{(P_1 + P_{1cr}) k^2 \mathbf{B}_0^2 \cos^2 \theta}{\omega \rho_0} \\ & - \frac{k^2 \mathbf{B}_0^2}{\omega \rho_0} \left(P_1 + P_{1cr} + \frac{\mathbf{B}_0 \cdot \mathbf{B}_1}{4\pi} \right) \\ & - \alpha_f^2 \eta_1 \mathbf{B}_0^2 \end{aligned} \quad (6)$$

محاسبه حاصل ضرب نقطه‌ای \mathbf{k} با معادله ۳۲ منجر می‌شود به:

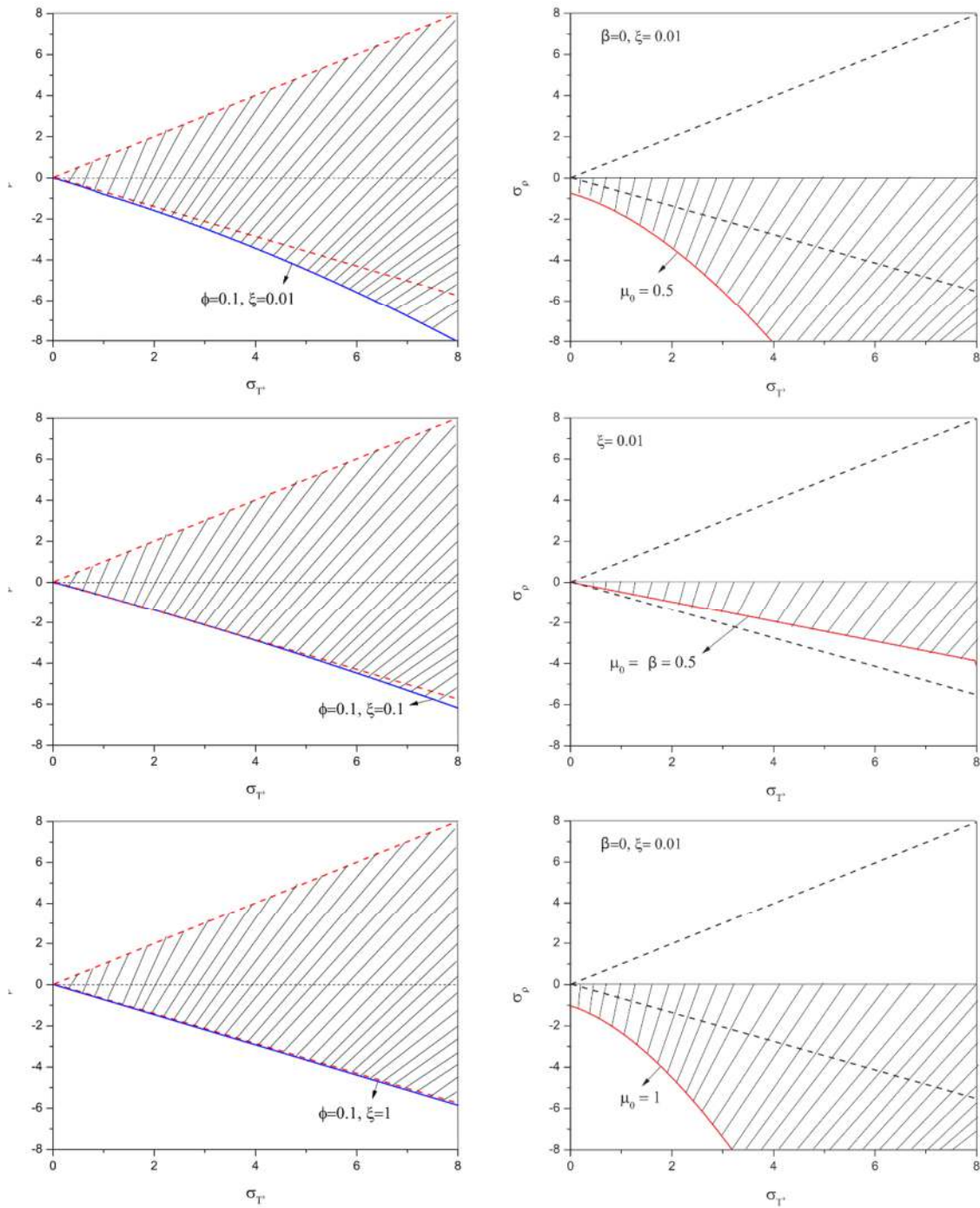
$$\mathbf{k} \cdot \mathbf{V}_1 = - \frac{\omega \rho_1}{i \rho_0} \quad (7)$$

اگر جمله $\mathbf{k} \cdot \mathbf{V}_1$ را از معادلات ۵ و ۷ حذف کنیم، داریم:

$$\rho_1 = - \frac{k^2}{\omega^2} \left(P_1 + P_{1cr} + \frac{\mathbf{B}_0 \cdot \mathbf{B}_1}{4\pi} \right) \quad (8)$$

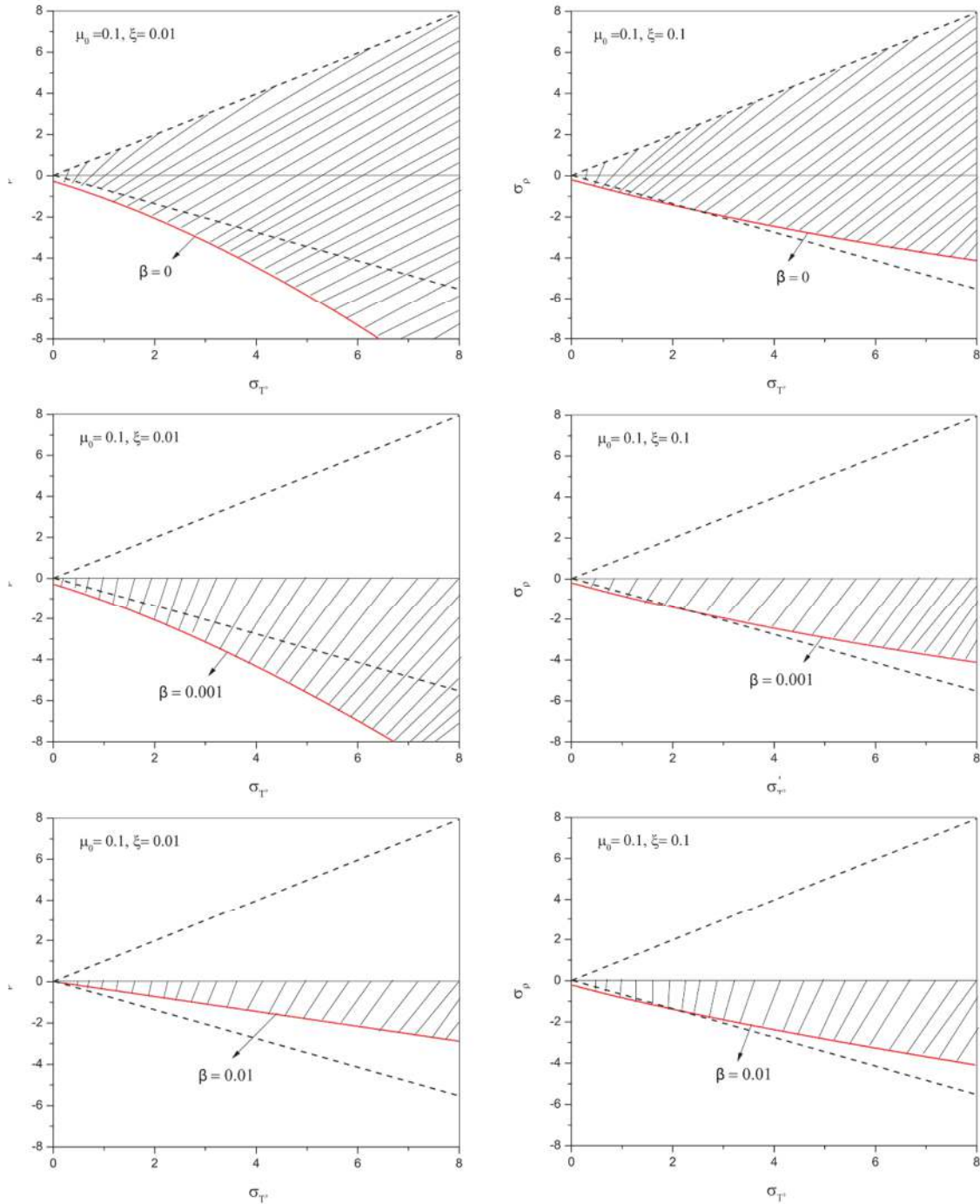
با توجه به معادلات ۶ و ۸ داریم:

$$\begin{aligned} \rho_1 & = \frac{k^2}{\omega^2} \left(1 - \frac{k^2 \mathbf{B}_0^2}{f \rho_0 \omega} \sin^2 \theta \right) (P_1 + P_{1cr}) \\ & + \alpha_f \eta_1 \frac{k^2 \mathbf{B}_0^2}{\omega^2 f} \end{aligned} \quad (9)$$

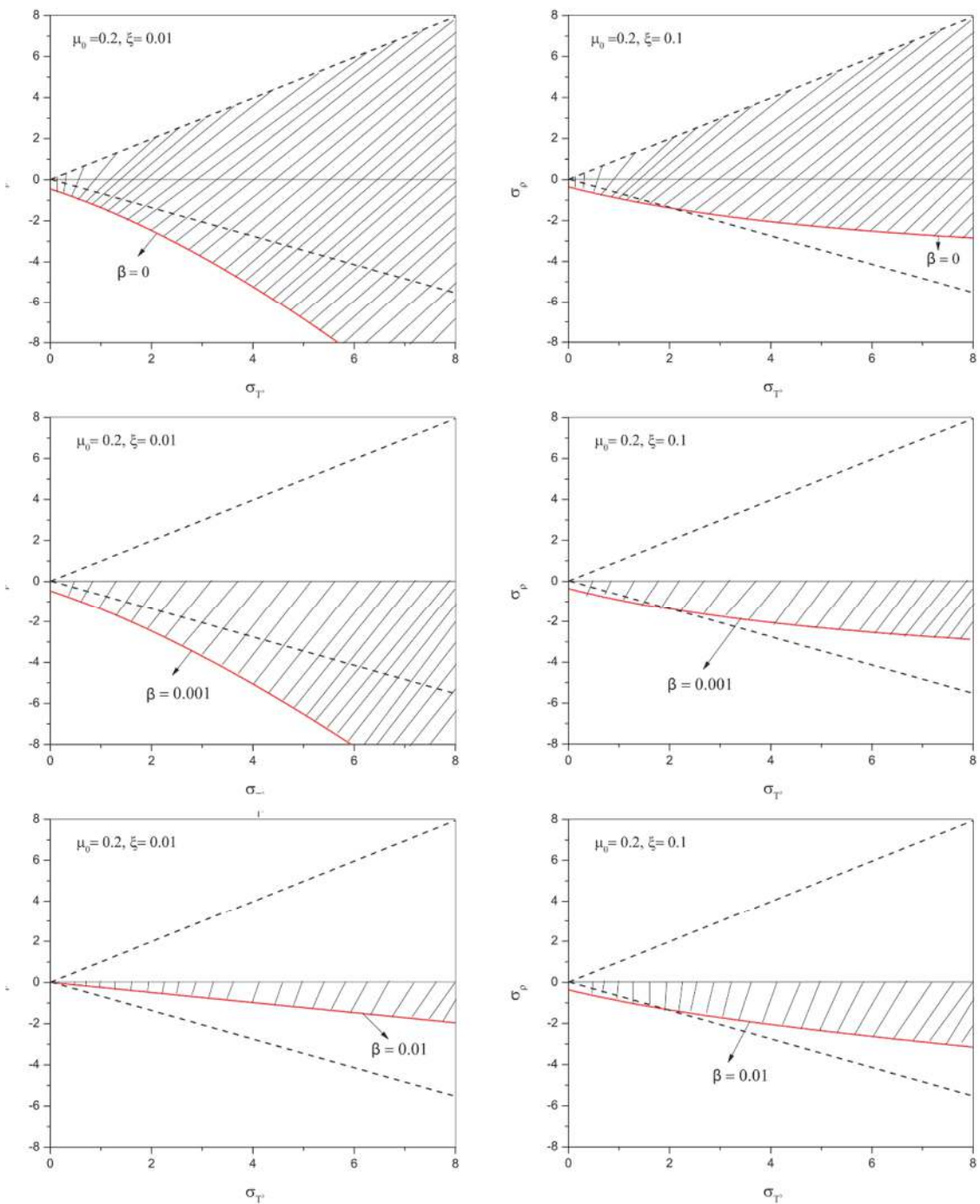


شکل ۱. راست: چکیده کار [۱۷]. نواحی پایداری با مناطق سایه‌دار در صفحه $\sigma_{T'} - \sigma_\rho$ نشان داده است و فرض شده که: $\psi = 100, \alpha = 1, \gamma = 5/3, \gamma_{cr} = 4/3$ متناظر است. چپ: نواحی پایداری در حضور MD و بدون CRs برای مورد

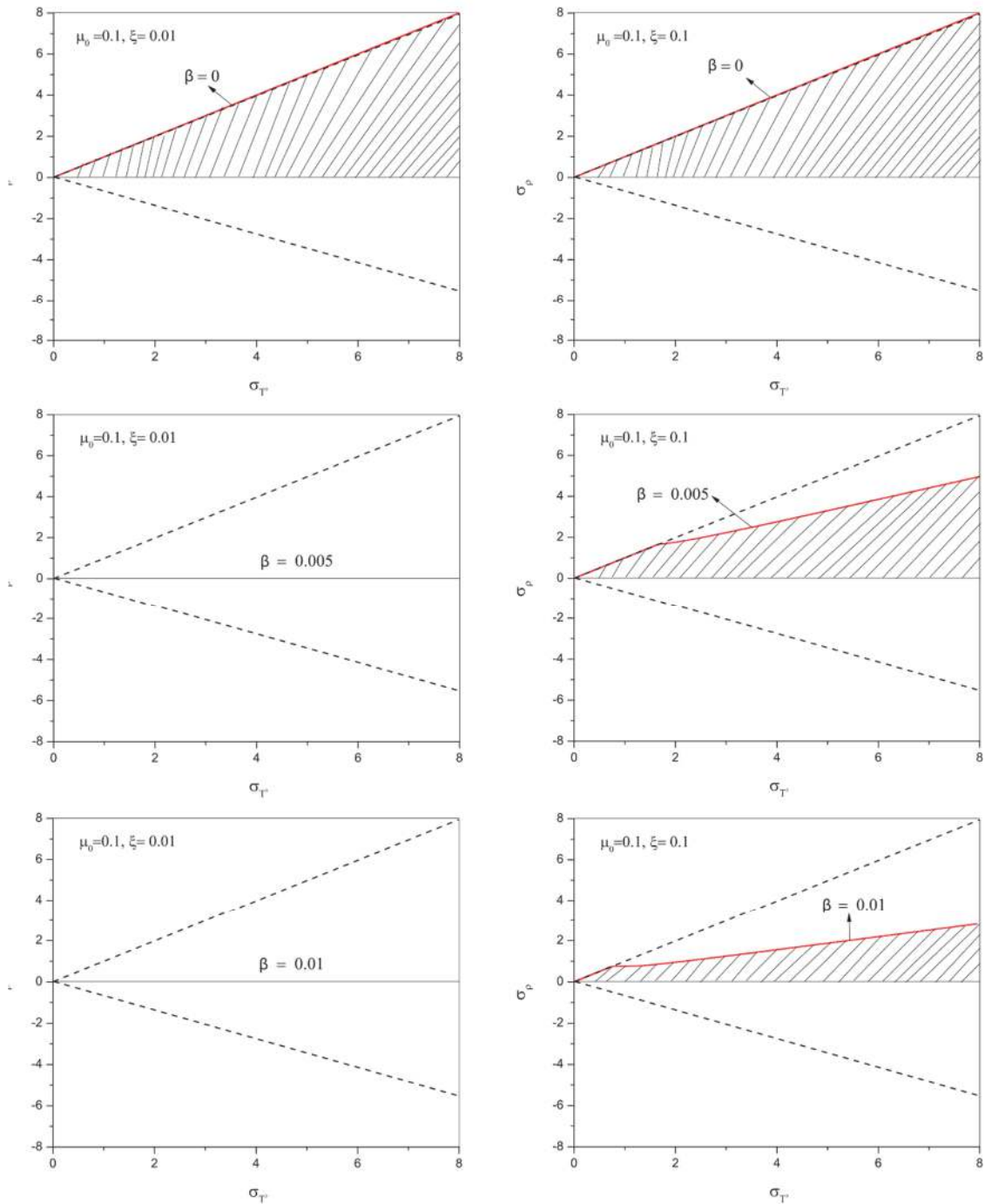
$\sigma_\rho < 0$ ترسیم گردیده است.



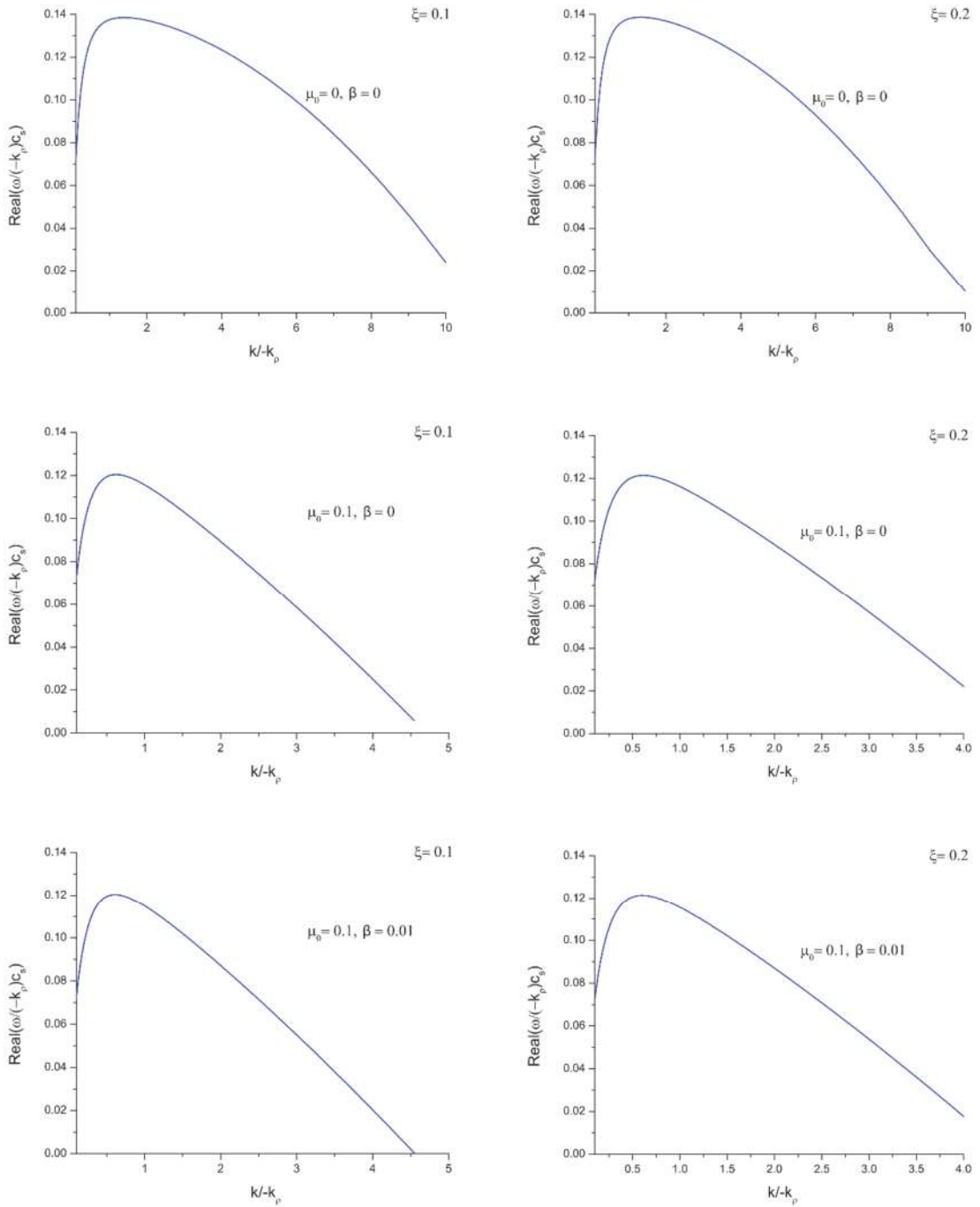
شکل ۲. نواحی پایداری با مناطق سایه‌دار در صفحه $\sigma_T - \sigma_\rho$ نشان داده شده است و فرض شده که: $\psi = 100, \phi = 0.1, \alpha = 1, \gamma = 5/3$ $\gamma_{cr} = 4/3$. توجه داشته باشید که منطقه محصور بین خط قرمز و محور افقی نشان دهنده دامنه ناپایداری در مورد $\sigma_\rho > 0$ و منطقه بالا (منطقه محصور بین خط تیره و محور افقی) نشان دهنده دامنه ناپایداری در شرایط $0 < \sigma_\rho < 0$ و $\beta = 0$ می‌باشد. راست: $\xi = 0.01$ چپ: $\xi = 0.1$



شکل ۳. مشابه شکل ۲. راست: $\xi = 0.01$ و چپ: $\xi = 0.1$

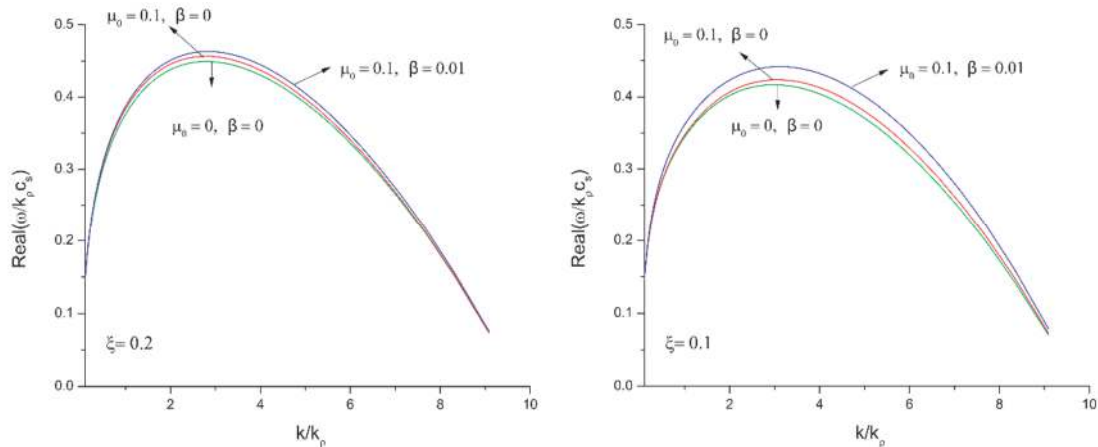


شکل ۴. مشابه شکل ۲. راست: $\xi = 0.01$ و چپ: $\xi = 0.1$ البته تنها مورد $\sigma_\rho > 0$ در نظر گرفته شده است.



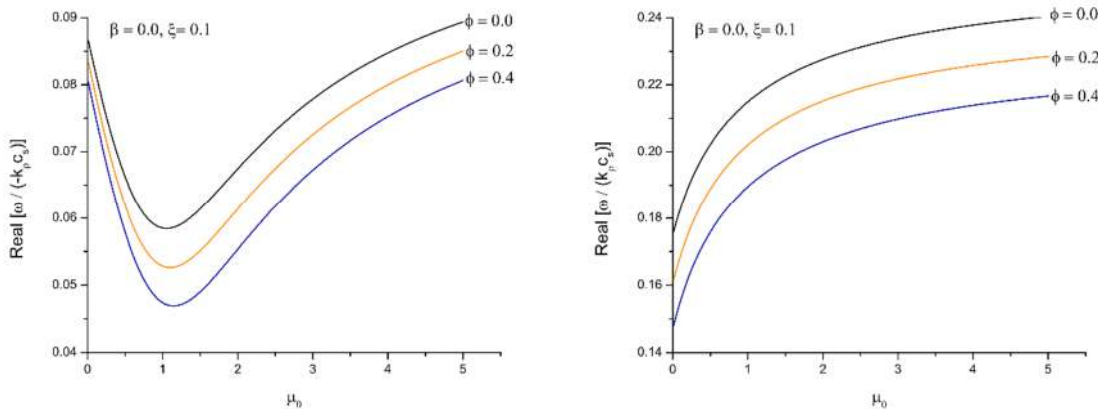
شکل ۵. نرخ رشد مدد تراکم حرارتی در مقابل عدد موج اختلالات، برای مورد $\sigma_\rho < 0$ و به ازای:

$$\alpha = 1 \quad \gamma = \frac{5}{3} \quad \gamma_{cr} = \frac{4}{3} \quad \phi = 0.6 \quad \frac{\sigma_{T'}}{\sigma_\rho} = -\frac{1}{2} \quad \sigma_\rho \sigma_K = 0.01$$



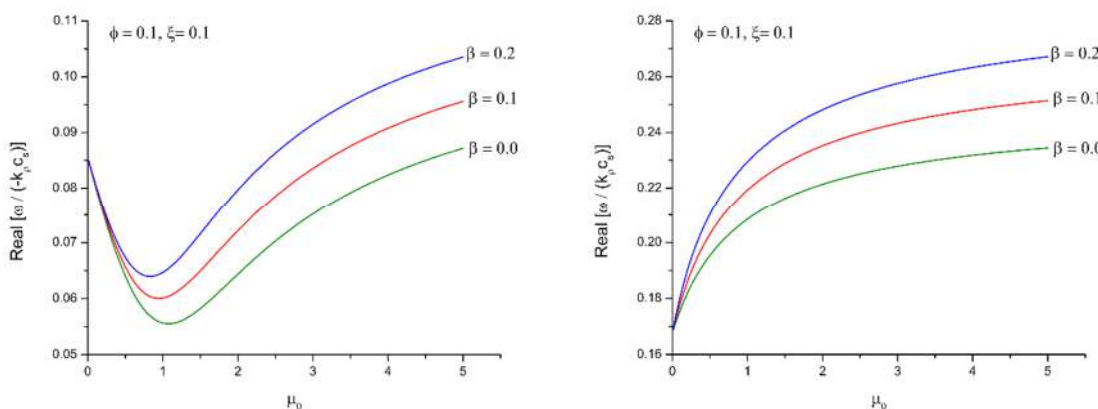
شکل ۶. نرخ رشد مد تراکم حرارتی در مقابل عدد موج اختلالات برای مورد $\sigma_\rho > 0$ و بهاری:

$$\alpha = 1 \quad \gamma = \frac{5}{3} \quad \gamma_{cr} = \frac{4}{3} \quad \phi = 0.6 \quad \frac{\sigma_{T'}}{\sigma_\rho} = \frac{1}{2} \quad \sigma_\rho \sigma_K = 0.01$$



شکل ۷. نرخ رشد مد تراکم حرارتی در مقابل عدد موج اختلالات برای مورد $\sigma_\rho > 0$ و بهاری:

$$\alpha = 1 \quad \gamma = \frac{5}{3} \quad \gamma_{cr} = \frac{4}{3} \quad \phi = 0.6 \quad \frac{\sigma_{T'}}{\sigma_\rho} = \frac{1}{2} \quad \sigma_\rho \sigma_K = 0.01$$



شکل ۸. نرخ رشد مد تراکم حرارتی در مقابل عدد موج اختلالات برای مورد $\sigma_\rho > 0$ و بهاری:

$$\alpha = 1 \quad \gamma = \frac{5}{3} \quad \gamma_{cr} = \frac{4}{3} \quad \phi = 0.6 \quad \frac{\sigma_{T'}}{\sigma_\rho} = \frac{1}{2} \quad \sigma_\rho \sigma_K = 0.01$$

مراجع

- [1] H. Koyama, Shu-Ichiro Inutsuka, Molecular Cloud Formation in Shock-compressed Layers, *The Astrophysical Journal* 532 (2000) 980-993. <https://doi.org/10.1086%2F308594>
- [2] C.F. McKee, C.B. Mitchell, Steady evaporation and condensation of isolated clouds in hot plasma, *The Astrophysical Journal* 358 (1990) 392. <https://doi.org/10.1086%2F168995>
- [3] C.F. McKee, J.P. Ostriker, A theory of the interstellar medium - Three components regulated by supernova explosions in an inhomogeneous substrate, *The Astrophysical Journal* 218 (1977) 148. <https://doi.org/10.1086%2F155667>
- [4] C. Xia, R. Keppens, Internal dynamics of a twin-layer solar prominence, *The Astrophysical Journal* 825 (2016) L29. <https://doi.org/10.3847%2F2041-8205%2F825%2F2%2Fl29>
- [5] A.R. Khesali, S.M. Ghoreyshi, M. Nejad-Asghar, Thermal instability in molecular clouds, including dust particles, Hall effect and ambipolar diffusion, *Monthly Notices of the Royal Astronomical Society* 420.3 (2012) 2300-2306.
- [6] M. Shadmehri, M. Nejad-Asghar, A. Khesali, Thermal instability in ionized plasma, *Astrophysics and Space Science* 326.1 (2010) 83-90.
- [7] S.W. Stahler, P. Francesco, *The Formation of Stars*. Wiley, 2004. <https://doi.org/10.1002%2F9783527618675>
- [8] B.T. Draine, On radiation pressure in static, dusty H II regions, *The Astrophysical Journal* 732 (2011) 100. <https://doi.org/10.1088%2F0004-637x%2F732%2F2%2F100>
- [9] R.M. Crutcher, Magnetic fields in molecular clouds, *Annual Review of Astronomy and Astrophysics*. 50 (2012) 29-63.
- [10] F.H. Shu, *The Physics of Astrophysics: Gas Dynamics*. 2 University Science Books (1991).
- [11] A. Dalgarno, M. Yan, W. Liu, Electron energy deposition in a gas mixture of atomic and molecular hydrogen and helium, *The Astrophysical Journal Supplement Series* 125 1 (1999) 237.
- [12] J.L. Spitzer, M.G. Tomasko, Heating of H I regions by energetic particles, *The Astrophysical Journal* 971 (1968) 152.
- [13] N. Indriolo, J. Benjamin McCall, Investigating the cosmic-ray ionization rate in the galactic diffuse interstellar medium through observations of H+ 3, *The Astrophysical Journal* 745 1 (2012) 91.
- [14] J.E. Everett, G.Z. Ellen, The Interaction of Cosmic Rays with Diffuse Clouds, *The Astrophysical Journal* 739 2 (2011): 60.
- [15] M. Padovani, et al., Cosmic-ray ionisation in circumstellar discs, *A&A* 614 (2018) A111.

<https://doi.org/10.1051/0004-6361/201732202>

[16] M. Gholipour, Is the Ohmic resistivity important in the gravitational collapse of a filamentary cloud? *Monthly Notices of the Royal Astronomical Society* 487 (2019) 3631-3643. <https://doi.org/10.1093%2Fmnras%2Fstz1535>

[17] J. Wurster, M.R. Bate, D. Price, The collapse of a molecular cloud core to stellar densities using radiation non-ideal magnetohydrodynamics, *Monthly Notices of the Royal Astronomical Society* 475 (2018) 1859-1880. <https://doi.org/10.1093%2Fmnras%2Fstx3339>

[18] M. Gholipour, Gravitational collapse of a filamentary cloud with ambipolar diffusion, *Monthly Notices of the Royal Astronomical Society* 480 (2018) 742-750. <https://doi.org/10.1093%2Fmnras%2Fstv1907>

[19] P. Marchand, et al., Chemical solver to compute molecule and grain abundances and non-ideal MHD resistivities in prestellar core-collapse calculations, *Astronomy & Astrophysics* 592 (2016) A18. <https://doi.org/10.1051%2F0004-6361%2F201526780>

[20] J. Wurster, D.J. Price, M.R. Bate, Can non-ideal magnetohydrodynamics solve the magnetic braking catastrophe?, *Monthly Notices of the Royal Astronomical Society* 457 (2016) 1037-1061. <https://doi.org/10.1093%2Fmnras%2Fstw013>

[21] M. Padovani, et al., The role of cosmic rays on magnetic field diffusion

and the formation of protostellar discs, *Astronomy & Astrophysics* 571 (2014) A33.

<https://doi.org/10.1051%2F0004-6361%2F201424035>

[22] J. Wurster, D. Price, B. Ayliffe, Ambipolar diffusion in smoothed particle magnetohydrodynamics, *Monthly Notices of the Royal Astronomical Society* 444 (2014) 1104-1112.

<https://doi.org/10.1093%2Fmnras%2Fstt1524>

[23] P.H. Bodenheimer, *Principles of Star Formation*. Springer Berlin Heidelberg, (2011). <https://doi.org/10.1007%2F978-3-642-15063-0>

[24] R. Krasnopolsky, Z.Y. Li, H. Shang, Disk formation enabled by enhanced resistivity, *The Astrophysical Journal* 716 (2010) 1541-1550. <https://doi.org/10.1088%2F0004-637x%2F716%2F2%2F1541>

[25] M. Shadmehri, A. Mohsen Nejad, A. Khesali, Thermal instability in ionized plasma, *Astrophysics and Space Science* 326 (2009) 83-90. <https://doi.org/10.1007%2Fs10509-009-0210-8>

[26] F. Yusef-Zadeh, M. Wardle, S. Roy, Cosmic-Ray Heating of Molecular Gas in the Nuclear Disk: Low Star Formation Efficiency, *The Astrophysical Journal* 665 (2007) L123--L126. <https://doi.org/10.1086%2F521359>

[27] H. Stiele, H. Lesch, F. Heitsch, Thermal instability in a weakly ionized plasma, *Monthly Notices of the Royal Astronomical Society* 372 (2006) 862-868. <https://doi.org/10.1111%2Fj.1365-2966.2006.10909.x>

- [28] T. Kuwabara, Ko. Chung-Ming, Parker-Jeans Instability of Gaseous Disks Including the Effect of Cosmic Rays, *The Astrophysical Journal* 636 (2006) 290-302. <https://doi.org/10.1086%2F498056>
- [29] F.H. Shu, et al., Gravitational Collapse of Magnetized Clouds. II. The Role of Ohmic Dissipation, *The Astrophysical Journal* 647 (2006) 382-389. <https://doi.org/10.1086%2F505258>
- [30] M. Nejad-Asghar, J. Ghanbari, Linear thermal instability and formation of clumpy gas clouds including ambipolar diffusion, *Monthly Notices of the Royal Astronomical Society* 345 (2003) 1323-1328. <https://doi.org/10.1046%2Fj.1365-2966.2003.07053.x>
- [31] T. Nakano, R. Nishi, T. Umebayashi, Mechanism of Magnetic Flux Loss in Molecular Clouds, *The Astrophysical Journal* 573 (2002) 199-214. <https://doi.org/10.1086%2F340587>
- [32] S.J. Desch, Ch. Telemachos Mouschovias, The Magnetic Decoupling Stage of Star Formation, *The Astrophysical Journal* 550 (2001) 314-333. <https://doi.org/10.1086%2F319703>
- [33] P.F. Goldsmith, Molecular Depletion and Thermal Balance in Dark Cloud Cores, *The Astrophysical Journal* 557 (2001) 736-746. <https://doi.org/10.1086%2F322255>
- [34] M. Hanasz, H. Lesch, Cosmic-Ray Evolution in Parker-unstable Galactic Magnetic Fields, *The Astrophysical Journal* 543 (2000) 235-244. <https://doi.org/10.1086%2F317077>
- [35] M. Wardle, Ng. Cindy, The conductivity of dense molecular gas, *Monthly Notices of the Royal Astronomical Society* 303 (1999) 239-246. <https://doi.org/10.1046%2Fj.1365-8711.1999.02211.x>
- [36] T. Nakano, T. Umebayashi, Dissipation of magnetic fields in very dense interstellar clouds - I. Formulation and conditions for efficient dissipation, *Monthly Notices of the Royal Astronomical Society* 218 (1986) 663-684. <https://doi.org/10.1093%2Fmnras%2F218.4.663>
- [37] V.D. Kuznetsov, V.S. Ptuskin, Stability of the equilibrium distributions of interstellar gas, cosmic rays, and magnetic field in an external gravitational field, *Astrophysics and Space Science* 94 (1983) 5-21. <https://doi.org/10.1007%2Fbf00651757>
- [38] P.F. Goldsmith, W.D. Langer, Molecular cooling and thermal balance of dense interstellar clouds, *The Astrophysical Journal* 222 (1978) 881. <https://doi.org/10.1086%2F156206>
- [39] G.B. Field, Thermal Instability, *The Astrophysical Journal* 142 (1965) 531. <https://doi.org/10.1086%2F148317>
- [40] L. Mestel, L. Spitzer, Star Formation in Magnetic Dust Clouds, *Monthly Notices of the Royal Astronomical Society* 116 (1956) 503-514. <https://doi.org/10.1093%2Fmnras%2F116.5.503>
- [41] C.J. Wareing, S.A.E.G. Falle, J.M. Pittard, Sheets, filaments, and clumps – high-resolution simulations of how the thermal instability can form molecular

clouds, *Monthly Notices of the Royal Astronomical Society* 485 (2019) 4686-4702.

<https://doi.org/10.1093%2Fmnras%2Fstz768>

[42] C.J. Wareing, et al., A new mechanical stellar wind feedback model for the Rosette Nebula, *Monthly Notices of the Royal Astronomical Society* 475 (2018) 3598-3612.

<https://doi.org/10.1093%2Fmnras%2Fsty148>

[43] M.R. Krumholz, *Star Formation*. World Scientific, 2017.

<https://doi.org/10.1142%2F10091>

[44] C.J. Wareing, J.M. Pittard, S.A.E.G. Falle, Hydrodynamic simulations of mechanical stellar feedback in a molecular cloud formed by thermal instability, *Monthly Notices of the Royal Astronomical Society* 470 (2017) 2283-2313.

<https://doi.org/10.1093%2Fmnras%2Fstx1417>

[45] C.J. Wareing, J.M. Pittard, S.A.E.G. Falle, Magnetohydrodynamic simulations of mechanical stellar feedback in a sheet-like molecular cloud, *Monthly Notices of the Royal Astronomical Society* 465 (2016) 2757-2783.

<https://doi.org/10.1093%2Fmnras%2Fstw2990>

[46] L. Hartmann, *Accretion Processes in Star Formation*. Cambridge University Press, (2008).
<https://doi.org/10.1017%2Fcbo9780511552090>

[47] M. Wardle, Star Formation and the Hall Effect, *Astrophysics and Space Science* 292 (2004) 317-323.

<https://doi.org/10.1023%2Fb%3Aastr.000045033.80068.1f>

[48] C.F. McKee, The Dynamical Structure and Evolution of Giant Molecular Clouds, *The Origin of Stars and Planetary Systems*. Springer Netherlands, (1999). 29-66.
https://doi.org/10.1007%2F978-94-011-4509-1_2

[49] W.H Press, S.A. Teukolsky, W.T. Vetterling, B.P. Flannery, *Numerical Recipes*, 2nd ed., Cambridge University Press (1992).

[50] M. Gholipour, P. Davoudifar, A.A. Eslami Shafagh, Thermal instability in the presence of the cosmic ray and ambipolar diffusion, *Monthly Notices of the Royal Astronomical Society* 510.3 (2021) 3437-3448.

[51] H. Koyama, Sh.I. Inutsuka, *An origin of supersonic motions in interstellar clouds*. (2001).
<http://arxiv.org/abs/astro-ph/0112420>

[52] M.G. Wolfire, Neutral Atomic Phases of the Interstellar Medium in the Galaxy, *The astrophysical journal* 587.1 (2003) 278–311.
<https://doi.org/10.1086/368016>

[53] E.R. Owen, Observational signatures of cosmic-ray interactions in molecular clouds, *The astrophysical journal* 913.1 (2021) 52.
<https://doi.org/10.3847/1538-4357/abee1a>

[54] A.V. Ivlev, Penetration of cosmic rays into dense molecular clouds: Role of diffuse envelopes, *The astrophysical journal* 855.1 (2018) 23.
<https://doi.org/10.3847/1538-4357/aaadb9>

- [55] K. Silsbee, A.V. Ivlev, Diffusive versus free-streaming cosmic-ray transport in molecular clouds, *The astrophysical journal* 879.1 (2019) 14. <https://doi.org/10.3847/1538-4357/ab22b4>
- [56] M. Padovani, G. Daniele, A.E. Glassgold, Cosmic-ray ionization of molecular clouds (Corrigendum), *Astronomy and astrophysics* 549 (2013) C3. <https://doi.org/10.1051/0004-6361/200911794e>
- [57] M. Padovani, A.V. Ivlev, D. Galli, P. Caselli, Cosmic-ray ionisation in circumstellar discs, *Astronomy & Astrophysics* 614 (2018).